

## ชื่อเรื่องวิทยานิพนธ์

การประเมินสาร์มอนิก雷โซเ�นซ์ในระบบจำหน่ายไฟฟ้าแรงต่ำ

ผู้เขียน

นายไชติพงศ์ พงศ์ครีวัฒน์

ปริญญา

วิศวกรรมศาสตรมหาบัณฑิต(วิศวกรรมไฟฟ้า)

อาจารย์ที่ปรึกษาวิทยานิพนธ์

รศ.ดร.สุทธิชัย เปรมฤคปิริชาชัย

### บทคัดย่อ

วิทยานิพนธ์นี้ นำเสนอการศึกษาและวิเคราะห์สาร์มอนิก雷โซเ�นซ์ในระบบจำหน่ายแรงต่ำ เพื่อประเมินผลของการติดตั้งค่าปาชิเตอร์ตามมาตรฐานของการไฟฟ้าส่วนภูมิภาคซึ่งกำหนดให้ติดตั้งค่าปาชิเตอร์ขนาด 30% ของพิกัดหม้อแปลง ที่มีต่อสาร์มอนิก雷โซเ�นซ์รวมทั้ง การติดตั้งวงจรกรองเพื่อลดผลของสาร์มอนิก雷โซเ�นซ์

การประเมินสาร์มอนิก雷โซเ�นซ์ที่เสนอໄດ້ແກ່ การประเมินจีดจำกัดของค่าปาชิเตอร์ การประเมินค่าตัวประกอบกำลัง ค่าใช้จ่ายในการติดตั้งกับระยะเวลาคืนทุน การประเมินกำลังสูง เสียงของหม้อแปลงที่ลดลงจากการติดตั้งค่าปาชิเตอร์และการประเมินจีดจำกัดความเพี้ยนสาร์มอนิก ตลอดจนวิเคราะห์ปัจจัยที่มีผลต่อสาร์มอนิก雷โซเ�นซ์และผลของวงจรกรองคីឡូនที่มี ต่อสาร์มอนิก雷โซเ�นซ์

งานวิจัยนี้ศึกษาและประเมินสาร์มอนิก雷โซเ�นซ์ในระบบจำหน่ายแรงต่ำ โดยเดือกด้านไฟฟ้าลำพูน 2 เป็นสถานีไฟฟ้าที่ใช้ในการศึกษา เนื่องจากง่ายกระແไฟฟ้าให้กับภาระไฟฟ้าของผู้ใช้ไฟภาคอุตสาหกรรมเป็นส่วนใหญ่ โดยพิจารณาผลของค่าปาชิเตอร์ขนาด 30% ของพิกัดหม้อแปลงของหม้อแปลงแต่ละขนาด ผลของค่าปาชิเตอร์ขนาด 30% 20% 10% และการติดตั้งวงจรกรองคីឡូนที่มีต่อสาร์มอนิก雷โซเ�นซ์

จากผลการศึกษาพบว่าการติดตั้งค่าปาชิเตอร์ขนาด 30% ของพิกัดหม้อแปลง ส่งผลดีในเรื่องการลดกำลังสูงเสียงของหม้อแปลงและปรับปรุงค่าตัวประกอบกำลัง แต่มีผลต่อขั้นดับสาร์มอนิก雷โซเ�นซ์ที่เกิดขึ้นด้วย โดยเฉพาะในระบบที่มีแหล่งจ่ายกระแสสาร์มอนิกอยู่ การใช้วงจรกรองคីឡូนให้ผลดีเช่นเดียวกับค่าปาชิเตอร์ และสามารถลดผลของการขยายสาร์มอนิกของระบบอีกทั้งยังปรับเปลี่ยนตำแหน่งการเกิดสาร์มอนิก雷โซเ�นซ์ของระบบได้ แต่ทั้งนี้ต้องพิจารณาถึงระยะเวลาคืนทุนด้วยว่าเหมาะสมสมต่อการติดตั้งใช้งานหรือไม่

**Thesis Title** Harmonic Resonance Assessment in  
Low Voltage Distribution System

**Author** Mr. Chotepong Pongsriwat

**Degree** Master of Engineering(Electrical Engineering)

**Thesis Advisor** Assoc. Prof. Dr. Suttichai Premrudeepreechacharn

### ABSTRACT

This thesis presents an assessment and study of harmonic resonance effect on low voltage capacitor equal to 30% of transformer size according to Provincial Electricity Authority's rule. The detune filter installation is also studied for harmonic resonance reduction.

The proposed assessments are assessment of the capacitor limitation, power factor, installation cost, payback period, reduced transformer loss and total harmonic distortion. Moreover, the effect of detune filter influencing on the harmonic resonance are also analyzed.

Lamphun 2 substation of Provincial Electricity Authority is selected as a system source which dispatch to most industrial loads. By consideration of each transformer size, capacitor on secondary side of distribution transformer at reactive power rating equal to 30% of transformer size are considered. The effect of capacitor at reactive power rating equal to 30%, 20% and 10% as well as detune filter installation are also studied.

From the studies, capacitor installation at the reactive power rating equal to 30% of transformation size has an advantage of power factor correction and reduced transformer loss, the more reactive power size of capacitor, the less resonance frequency becomes. However, it affects directly to resonance frequency of the system, especially in the harmonic environment. Detune filter is the useful method for using in harmonic environment and power factor correction but it also has high investment and long term to return.

## สารบัญ

	หน้า
กิตติกรรมประกาศ	ค
บทคัดย่อภาษาไทย	๔
บทคัดย่อภาษาอังกฤษ	๗
สารบัญตาราง	๗
สารบัญรูป	๘
<b>บทที่ 1 บทนำ</b>	
1.1 ที่มาและความสำคัญของปัจจุบัน	1
1.2 วัตถุประสงค์ของการวิจัย	2
1.3 ขอบเขตการวิจัย	2
1.4 ประโยชน์ที่คาดว่าจะได้รับ	3
1.5 สรุปสาระสำคัญจากเอกสารที่เกี่ยวข้อง	3
<b>บทที่ 2 หลักการและทฤษฎีที่เกี่ยวข้อง</b>	
2.1 การเกิดแรงดันอาร์มอนิกและกระแสอาร์มอนิก	6
2.2 คอนเวอร์เตอร์กำลังแบบสติติค	7
2.3 เรโซแนนซ์นาน	8
2.4 ขีดจำกัดของคาปซิเตอร์	12
2.5 ขีดจำกัดความเพียงอาร์มอนิก	14
2.6 การประเมินกำลังสูญเสียในหม้อแม่ลงที่ลดลงจากการติดตั้งคาปซิเตอร์	14
2.7 วงจรกรองพาสซีฟ	15
2.7.1 วงจรกรองดีจุน	16
2.8 การใช้วงจรกรองดีจุนในการลดผลของอาร์มอนิกเรโซแนนซ์	16
2.9 โปรแกรม DiGILENT PowerFactory	19
<b>บทที่ 3 แบบจำลองที่ใช้ในการศึกษา</b>	
3.1 แบบจำลองของระบบและอุปกรณ์ต่าง ๆ	21
3.1.1 แหล่งจ่ายแรงดันไฟฟ้า	22
3.1.2 หน้าแปลงไฟฟ้า	23
3.1.3 ภาระไฟฟ้าแบบไม่เป็นเชิงเส้น	24
3.1.4 คาปซิเตอร์	25
3.1.5 วงจรกรองดีจุน	27

ສາຣະບາລູ (ຕ້ອ)

หน้า	28
3.2 ตัวอย่างการวิเคราะห์สาร์มอนิกเร ไซแนนซ์	
3.2.1 กรณีศึกตั้งค่าปาซิเตอร์ขนาดเท่ากับ 30% ของพิกัดหม้อแปลง	28
3.2.2 กรณีศึกตั้งวงจรกรองคีจูน	
<b>บทที่ 4 ผลการจำลอง</b>	
4.1 อันดับสาร์มอนิกเร ไซแนนซ์ของหม้อแปลง	34
4.2 ผลของค่าปาซิเตอร์	35
4.2.1 การประเมินจีดักจำพวกปาซิเตอร์	37
4.2.2 การประเมินค่าตัวประกอบกำลัง ค่าใช้จ่ายในการติดตั้ง ค่าปาซิเตอร์ และ ระยะเวลาคืนทุน	41
4.2.3 การประเมินกำลังสูญเสียของหม้อแปลงที่ลดลงจากการ ติดตั้งค่าปาซิเตอร์	43
4.2.4 การประเมินจีดักความเพียงสาร์มอนิก	44
4.3 ผลของการใช้งานกรองคีจูน	44
<b>บทที่ 5 วิเคราะห์ผล</b>	
5.1 การวิเคราะห์ปัจจัยที่มีผลต่อสาร์มอนิกเร ไซแนนซ์	47
5.2 การวิเคราะห์ผลของการติดตั้งค่าปาซิเตอร์ที่ 30% ของพิกัดหม้อแปลง	48
5.3 การเปรียบเทียบค่าจีดักจำพวกของการติดตั้งค่าปาซิเตอร์ขนาดต่าง ๆ กับวงจรกรองคีจูน	49
5.4 การเปรียบเทียบค่าใช้จ่าย ระยะเวลาคืนทุน กำลังสูญเสียของ หม้อแปลงที่ลดลง และ ความผิดเพี้ยนสาร์มอนิกรวมของการติดตั้ง ค่าปาซิเตอร์ขนาดต่าง ๆ กับวงจรกรองคีจูน	51
5.5 การวิเคราะห์ผลของวงจรกรองคีจูนที่มีต่อสาร์มอนิกเร ไซแนนซ์	53
<b>บทที่ 6 สรุป</b>	
6.1 สรุป	54
6.2 ข้อเสนอแนะ	54
<b>บรรณานุกรม</b>	56
<b>ประวัติผู้เขียน</b>	58

## สารบัญตาราง

ตาราง	หน้า
3.1 ข้อมูลแหล่งจ่ายไฟสถานีไฟฟ้าลำพูน 2	23
3.2 มาตรฐานกำลังสูญเสียของหม้อแปลง 3 เฟส (22 กิโลโวัตต์) ของการไฟฟ้าส่วนภูมิภาค	24
3.3 การจ่ายกระแสธรรมนิกของคอนเวอร์เตอร์ชนิด 6 พัลส์	24
3.4 ขนาดของคาป่าซิเตอร์ ( $\mu F$ ) ที่มีค่าเป็น 30% ของพิกัดหม้อแปลงขนาดต่าง ๆ	26
3.5 ราคามาตรฐานคาป่าซิเตอร์แต่ละหน่วยย่อย	26
3.6 ข้อมูลค่าใช้จ่ายทั้งหมดในการติดตั้งคาป่าซิเตอร์สำหรับหม้อแปลงแต่ละขนาด	27
3.7 ราคาของรีแอกแทนซ์	27
4.1 อันดับชาร์มอนิกเร ไซแนซ์จากการคำนวณและการจำลองของหม้อแปลง แต่ละขนาดซึ่งติดตั้งคาป่าซิเตอร์ขนาด 30% ของพิกัดหม้อแปลง	34
4.2 อันดับชาร์มอนิกเร ไซแนซ์จากการคำนวณและการจำลองของหม้อแปลง ขนาด 2000 kVA เมื่อติดตั้งคาป่าซิเตอร์ที่ขนาดต่าง ๆ	37
4.3 ผลการศึกษาที่อันดับชาร์มอนิกต่าง ๆ ในกรณีติดตั้งคาป่าซิเตอร์ขนาด 30%	37
4.4 ผลการศึกษาที่อันดับชาร์มอนิกต่าง ๆ ในกรณีติดตั้งคาป่าซิเตอร์ขนาด 20%	38
4.5 ผลการศึกษาที่อันดับชาร์มอนิกต่าง ๆ ในกรณีติดตั้งคาป่าซิเตอร์ขนาด 10%	38
4.6 ค่ากระแส แรงดัน และ กำลังไฟฟ้ารีแอกทิฟ กรณีติดตั้งคาป่าซิเตอร์ขนาด 30%	40
4.7 ค่ากระแส แรงดัน และ กำลังไฟฟ้ารีแอกทิฟ กรณีติดตั้งคาป่าซิเตอร์ขนาด 20%	40
4.8 ค่ากระแส แรงดัน และ กำลังไฟฟ้ารีแอกทิฟ กรณีติดตั้งคาป่าซิเตอร์ขนาด 10%	41
4.9 ตัวประกอบกำลังและค่าใช้จ่ายในการติดตั้งคาป่าซิเตอร์	41
4.10 ระยะเวลาการคืนทุนของการติดตั้งคาป่าซิเตอร์ในแต่ละกรณีเทียบกับ กรณีที่ไม่ได้ติดตั้งคาป่าซิเตอร์	43
4.11 ค่ากำลังสูญเสียที่ลดลงเนื่องจากติดตั้งคาป่าซิเตอร์ในแต่ละกรณี	43
4.12 ค่าความผิดเพี้ยนชาร์มอนิกรวมของแรงดันบัส (%)	44
4.13 ผลการศึกษาที่อันดับชาร์มอนิกต่าง ๆ ในกรณีตัดแปลงคาป่าซิเตอร์ ขนาด 30% เป็นวงจรกรองคู่กัน	45
4.14 ค่ากระแส แรงดัน และ กำลังไฟฟ้ารีแอกทิฟ กรณีตัดแปลงคาป่าซิเตอร์ ขนาด 30% เป็นวงจรกรองคู่กัน	46

## สารบัญรูป

รูป	หน้า
2.1 วงจรคอมเวอร์เตอร์แบบ 6 พัลส์	7
2.2 รูปคลื่นกระแสตรงของคอมเวอร์เตอร์แบบ 6 พัลส์	8
2.3 สเปกตรัมของกระแสตรงของคอมเวอร์เตอร์แบบ 6 พัลส์	8
2.4 ระบบที่เกิดสภาพเรโซแนนซ์ขนาน	9
2.5 วงจรเทียบเท่าของระบบในรูปที่ 2.4	9
2.6 ตัวอย่างผลตอบสนองความถี่ของระบบที่เกิดเรโซแนนซ์ขนาน	11
2.7 ตัวอย่างวงจรกรองดิจุน	16
2.8 การติดตั้งวงจรกรองดิจุน	17
2.9 วงจรเทียบเท่าของระบบในรูปที่ 2.7	17
2.10 ตัวอย่างผลตอบสนองของระบบเมื่อติดตั้งวงจรกรองดิจุน	19
3.1 การเรื่อนต่อของระบบที่ใช้ในการศึกษาปรากฏการณ์ชาร์มอนิกเรโซแนนซ์	21
3.2 แบบจำลองอินพีเดนซ์ของแหล่งกำเนิดจ่ายแรงดันสมมูล	22
3.3 แบบจำลองอินพีเดนซ์ของหม้อแปลง	23
3.4 แบบจำลองอินพีเดนซ์ของคาปิเตอร์	25
3.5 คาปิเตอร์เรื่องต่อแบบเดลตา ทางด้านทุติยภูมิของหม้อแปลง	25
3.6 แบบจำลองของวงจรกรองดิจุนที่ใช้ในการจำลอง	27
3.7 ระบบที่พิจารณาติดตั้งเฉพาะคาปิเตอร์	28
3.8 วงจรเทียบเท่าของระบบไฟฟ้าในรูปที่ 3.7	28
3.9 วงจรเทียบเท่าใหม่จากรูปที่ 3.8	30
3.10 กราฟระหว่างความถี่กับอินพีเดนซ์ของระบบ	31
3.11 ระบบที่พิจารณาติดตั้งวงจรกรองดิจุน	31
3.12 วงจรเทียบเท่าของระบบในรูปที่ 3.11	32
3.13 วงจรเทียบเท่าใหม่จากรูปที่ 3.12	32
3.14 กราฟระหว่างความถี่กับอินพีเดนซ์ของระบบกรณีติดตั้งวงจรกรองดิจุน	33
4.1 อินพีเดนซ์ขณะเกิดเรโซแนนซ์ขนานของหม้อแปลงแต่ละขนาดซึ่งติดตั้ง คาปิเตอร์ขนาด 30% ของพิกัดหม้อแปลง	35
4.2 กราฟระหว่างความถี่กับอินพีเดนซ์ของระบบ ในกรณีติดตั้งคาปิเตอร์ขนาด 30%	35

## สารบัญรูป(ต่อ)

รูป	หน้า
4.3 กราฟระหว่างความถี่กับอัมพีเดนซ์ของระบบ ในกรณีติดตั้งค่าปานิชิเตอร์ขนาด 20 %	36
4.4 กราฟระหว่างความถี่กับอัมพีเดนซ์ของระบบ ในกรณีติดตั้งค่าปานิชิเตอร์ขนาด 10 %	36
4.5 อัตราการขยายกระแสเข้าสู่ค่าปานิชิเตอร์ ( $M_c$ ) และ อัตราการขยายกระแส หาร์มอนิกที่ให้เหลือเข้าสู่ระบบไฟฟ้า ( $M_s$ ) ในกรณีติดตั้งค่าปานิชิเตอร์ขนาด 30%	39
4.6 อัตราการขยายกระแสเข้าสู่ค่าปานิชิเตอร์ ( $M_c$ ) และ อัตราการขยายกระแส หาร์มอนิกที่ให้เหลือเข้าสู่ระบบไฟฟ้า ( $M_s$ ) ในกรณีติดตั้งค่าปานิชิเตอร์ขนาด 20%	39
4.7 อัตราการขยายกระแสเข้าสู่ค่าปานิชิเตอร์ ( $M_c$ ) และ อัตราการขยายกระแส หาร์มอนิกที่ให้เหลือเข้าสู่ระบบไฟฟ้า ( $M_s$ ) ในกรณีติดตั้งค่าปานิชิเตอร์ขนาด 10%	40
4.8 กราฟระหว่างความถี่กับอัมพีเดนซ์ของระบบในกรณีดัดแปลง ค่าปานิชิเตอร์ขนาด 30% เป็นวงจรกรองคีจูน	44
4.9 อัตราการขยายกระแสเข้าสู่ค่าปานิชิเตอร์ ( $M_c$ ) และ อัตราการขยายกระแส หาร์มอนิกที่ให้เหลือเข้าสู่ระบบไฟฟ้า ( $M_s$ ) ในกรณีดัดแปลงค่าปานิชิเตอร์ขนาด 30% เป็นวงจรกรองคีจูน	45
5.1 อันดับของหาร์มอนิกเร โโซแนนซ์สำหรับหนึ่งแปลงที่ติดตั้งค่าปานิชิเตอร์ขนาด 30%	48
5.2 จีดจ้ากัดกระแสและค่ากระแสอาร์เอ็มเอสที่ได้จากการจำลองในแต่ละกรณี	49
5.3 จีดจ้ากัดแรงดันและค่าแรงดันอาร์เอ็มเอสที่ได้จากการจำลองในแต่ละกรณี	50
5.4 จีดจ้ากัดกำลังไฟฟ้ารีแอกทิฟและค่ากำลังไฟฟ้ารีแอกทิฟที่ได้ จากการจำลองในแต่ละกรณี	50
5.5 ค่าใช้จ่ายในการติดตั้งของแต่ละกรณี	51
5.6 ระยะเวลาคืนทุนของแต่ละกรณีเทียบกับกรณีที่ไม่ได้ติดตั้งค่าปานิชิเตอร์	51
5.7 ค่ากำลังสูญเสียของหนึ่งแปลงที่ลดลงในแต่ละกรณีเทียบกับกรณีที่ ไม่ติดตั้งค่าปานิชิเตอร์	52
5.8 ค่าความผิดเพี้ยนหาร์มอนิกรวมของแต่ละกรณี	52

บทที่ 1

บทนำ

## 1.1 ที่มาและความสำคัญของปัญหา

การไฟฟ้าส่วนภูมิภาค (กฟภ.) ได้ให้บริการกระแสไฟฟ้าแก่ทั้งชุมชนที่อยู่อาศัย ย่านธุรกิจ ตลอดจนภาคอุตสาหกรรมต่าง ๆ สำหรับการใช้ไฟฟ้านอกภาคอุตสาหกรรมในปัจจุบันได้มีการนำเอาอุปกรณ์ไฟฟ้าประเภทอิเล็กทรอนิกส์กำลัง อุปกรณ์คอมพิวเตอร์ หรืออุปกรณ์ไฟฟ้ากำลังชนิดที่สามารถปรับเปลี่ยนความเร็วตอบได้มาใช้งานเพิ่มมากขึ้น ส่งผลกระทบให้เกิดปัญหาคุณภาพไฟฟ้าตามมา คือ ปัญหาชำรุดของอุปกรณ์ในระบบไฟฟ้า ซึ่งเป็นผลสืบเนื่องมาจากการนำอุปกรณ์ไฟฟ้าดังกล่าวเข้ามาร่วมติดตั้งใช้งาน [1] กระแสและแรงดันอาจรบกวนการทำงานที่เกิดขึ้นนี้ อาจทำให้เกิดความเสียหายหรือเกิดการทำงานผิดปกติของอุปกรณ์อิเล็กทรอนิกส์ การชำรุดเสียหายของค่าป่าเซตอิร์ และเกิดความร้อนสูงเกินขีนภายในหม้อแปลงไฟฟ้าหรือตัวนำนิวทรัล ตลอดจนกลัจจุริไฟฟ้ากระแสสลับได้ [2]

โดยปกติ ผู้ใช้ไฟอุตสาหกรรมจะทำการติดตั้งค่าป่าเซเตอร์เข้ากับระบบไฟฟ้า เพื่อปรับปรุงค่าตัวประกอบกำลังให้เหมาะสม ส่งผลดีคือ ช่วยลดค่าความสูญเสียและเพิ่มความสามารถในการจ่ายกระแสไฟฟ้าในสายป้อนให้มีประสิทธิภาพสูงขึ้น เมื่อมีการใช้งานอุปกรณ์ไฟฟ้าที่สร้างสารมอนิกในระบบไฟฟ้าจำนวนเพิ่มมากขึ้น จึงมีความเป็นไปได้ที่จะทำให้เกิดการเรโซแนนซ์ของค่าป่าเซเตอร์ที่ความถี่สารมอนิกต่าง ๆ ได้บ่อยครั้งขึ้น จนทำให้ค่าป่าเซเตอร์ชำรุดจากผลของการร้อนสูงเกินและความเครียด โดยอิเล็กตริกของค่าป่าเซเตอร์ที่สูงขึ้นได้ [3] สำหรับวิธีการลดผลของการร้อนสูงเกินที่มีประสิทธิภาพ 3 วิธี ได้แก่ การติดตั้งวงจรรองสารมอนิก การหักล้างของสารมอนิกโดยอาศัยหม้อแปลงไฟฟ้าที่มีการต่อเชื่อมแบบเดลตา-เดลตา หรือเดลตา-วาย และการปรับเปลี่ยนขนาดของค่าป่าเซเตอร์ด้านแรงต้าน [4]

อุปกรณ์ที่ช่วยลดผลของสารมอนิกชนิดหนึ่ง ซึ่งมีประสิทธิภาพและเป็นที่รู้จักอย่างแพร่หลาย คือ วงจรกรองสารมอนิกชนิดแยกทีฟ โดยเมื่อเปรียบเทียบกับวงจรกรองชนิดพาราสซีฟ (Passive Filter) เล็กๆ ไม่ทำให้เกิดปัญหาสารมอนิกเรโซแนนซ์ เพราะอาศัยหลักการปรับค่าอิมพีเดนซ์ของระบบไฟฟ้า แต่ในปัจจุบันวงจรกรองแยกทีฟดังกล่าวยังคงมีราคาแพงมาก และต่ำน้อยในการติดตั้งใช้งานจะทำการติดตั้งเฉพาะในบริเวณที่มีโรงงานอุตสาหกรรมขนาดใหญ่ตั้งอยู่เท่านั้น [5] เนื่องจาก อิมพีเดนซ์สารมอนิกแบบบานาน มีประสิทธิภาพในการลดผลของสารมอนิกได้เป็นอย่างดี โดยเฉพาะอย่างยิ่งในการfiltration ของสารมอนิกเรโซแนนซ์ [6] ซึ่งจะทำการติดตั้งในลักษณะบานานกับระบบและมีพฤติกรรมเป็นอิมพีเดนซ์แบบความต้านทานเชิงเส้นกับสารมอนิกซึ่งข้อดีของวิธีการนี้คือ เป็นอุปกรณ์ที่ติดตั้งใช้งานได้ง่าย สามารถติดตั้งใช้งานในตำแหน่งต่างๆ ได้เพื่อลดผลของสารมอนิก โดยไม่จำเป็นต้องใช้อุปกรณ์วัดกระแสสารมอนิก ตลอดความช่วยว

ปรับปรุงส่วนเพื่อเสถียรภาพ (Stability margin) เมื่อเบริญเก็บกับกรณีการใช้งานของกรง แยกที่ฟชดเชยาร์มอนิกที่วัดได้ [7]

เนื่องจากในปัจจุบันมาตรฐานของฟก.ได้กำหนดให้ทำการติดตั้งค่าป่าซิเตอร์แรงตัวบนคาด 30% ของพิกัดหม้อแปลง เพื่อปรับปรุงค่าตัวประกอบกำลัง จากการที่มีการใช้กระแสไฟฟ้าที่สร้าง สาธารณูปโภคดังกล่าวเพิ่มขึ้น ดังนั้น จึงมีความเป็นไปได้ที่จะเกิดภาวะชำรุดอนิภัยเรื้อรังซึ่งกับ ระบบได้ซึ่งขึ้นอยู่กับปัจจัยต่าง ๆ ของระบบ เช่น ขนาดของหม้อแปลง, ขนาดของค่าป่าซิเตอร์ แรงตัวและชนิดของการไฟฟ้าสาธารณะ ได้แก่คอนเวอร์เตอร์ โดยที่ผลกระทบของการติดตั้ง ค่าป่าซิเตอร์ดังกล่าวที่มีต่อสาธารณูปโภคเรื้อรังนั้นยังไม่ได้มีการศึกษาและวิเคราะห์อย่างละเอียด

## 1.2 วัตถุประสงค์ของการวิจัย

1.2.1 เพื่อศึกษาผลของการติดตั้งค่าป่าซิเตอร์ด้านแรงตัวตามมาตรฐานของการไฟฟ้า ส่วนภูมิภาคซึ่งกำหนดไว้ที่ 30% ของขนาดพิกัดของหม้อแปลงที่มีต่อสภาวะชำรุดอนิภัยเรื้อรังซึ่ง มีผลกระทบต่อระบบไฟฟ้าที่นำมายังงานมีลักษณะเป็นกระแสไฟฟ้าที่สร้างกระแสชำรุดอนิภัย

1.2.2 เพื่อศึกษาถึงผลการติดตั้งค่าป่าซิเตอร์ด้านแรงตัวตามมาตรฐานของการไฟฟ้า ส่วนภูมิภาคซึ่งกำหนดไว้ที่ 30% ของขนาดพิกัดของหม้อแปลงที่มีต่อสภาวะชำรุดอนิภัยเรื้อรังซึ่ง มีผลกระทบต่อระบบไฟฟ้าที่นำมายังงานมีลักษณะเป็นกระแสไฟฟ้าที่สร้างกระแสชำรุดอนิภัย

1.2.3 เพื่อวิเคราะห์และนำเสนอวิธีการที่เหมาะสมในการลดผลกระทบของชำรุดอนิภัย เรื้อรังซึ่งเกิดขึ้นดังกล่าว โดยพิจารณาจากขนาดของค่าป่าซิเตอร์ด้านแรงตัวและการติดตั้ง อินพีเดนซ์ชำรุดอนิภัยแบบบานานที่เหมาะสม

## 1.3 ขอบเขตการวิจัย

1.3.1 ศึกษาแบบจำลองระบบไฟฟ้าและสภาพการเกิดชำรุดอนิภัยเรื้อรังซึ่งในระบบ จำหน่ายไฟฟ้าแรงตัว

1.3.2 นำแบบจำลองระบบไฟฟ้ามาวิเคราะห์ชำรุดอนิภัยเรื้อรังซึ่ง

1.3.3 วิเคราะห์ผลของการติดตั้งค่าป่าซิเตอร์แรงตัวสำหรับใช้งานร่วมกับกระแสไฟฟ้าที่มีลักษณะ ไม่เป็นเชิงเส้น

1.3.4 ศึกษาการติดตั้งชำรุดอนิภัยเรื้อรังซึ่งในระบบจำหน่ายไฟฟ้าแรงตัว รูนแรงของการเกิดชำรุดอนิภัยเรื้อรังซึ่งในระบบจำหน่ายไฟฟ้าแรงตัว

## 1.4 ประโยชน์ที่คาดว่าจะได้รับ

- 1.4.1 สามารถวิเคราะห์ปัญหาคุณภาพไฟฟ้าที่เกี่ยวข้องกับชาร์มอนิกในระบบไฟฟ้าได้
- 1.4.2 สามารถนำแบบจำลองของระบบจำหน่ายไฟฟ้ามาศึกษาและวิเคราะห์ผลของชาร์มอนิกเรโซแนนซ์ที่มีต่อระบบได้
- 1.4.3 สามารถประเมินสภาวะการเกิดชาร์มอนิกเรโซแนนซ์ที่มีต่อการติดตั้งคาปาซิเตอร์ในระบบจำหน่ายไฟฟ้าแรงดันต่ำได้

## 1.5 สรุปสาระสำคัญจากเอกสารที่เกี่ยวข้อง

Wagner, et al. [2] ได้สรุปผลของชาร์มอนิกในระบบไฟฟ้ากำลังที่มีต่ออุปกรณ์ต่าง ๆ โดยผลดังกล่าว ได้แก่ ผลกระทบอุณหภูมิจากการที่มีการใช้งานเกินพิกัด(Thermal overloading) ผลการชำรุดของอุปกรณ์ และ ความเครียดด้านวนไฟอิเล็กตริก ซึ่งอุปกรณ์ที่พิจารณาได้แก่ ตัวขับมอเตอร์แบบปรับความเร็วตอบได้ คาปาซิเตอร์ เซอร์กิตเบรกเกอร์ ฟิวส์ ตัวนำ อุปกรณ์อิเล็กทรอนิกส์หลอดไฟฟ้า มิเตอร์ ระบบบริเลี่ยป้องกัน กลั๊กต์ไฟฟ้า โทรศัพท์ และ หม้อแปลงไฟฟ้า

Xu, et al.[3] ได้ศึกษาพบว่าเมื่อโหลดประเททที่สร้างชาร์มอนิกในระบบไฟฟ้า มีจำนวนเพิ่มมากขึ้น ความเป็นไปได้ในการเกิดเรโซแนนซ์ของคาปาซิเตอร์ในระบบก็มีบ่อยครั้งขึ้นจากการนำเอาคาปาซิเตอร์มาประยุกต์ใช้งานเพื่อแก้ปัญหาค่าตัวประกอนกำลัง และ ได้นำเสนอวิธีการในทางปฏิบัติ เพื่อประเมินลักษณะและผลกระทบเรโซแนนซ์ของคาปาซิเตอร์ที่ติดตั้งใช้งานในระบบ โดยได้นำเสนอวิธีการใช้คาปาซิเตอร์ในสภาพของโหลด (Capacitor loading condition) เป็นวิธีในการประเมินความรุนแรงของชาร์มอนิกเรโซแนนซ์ นอกจากนี้ยังพบว่า แรงดันใช้งานของคาปาซิเตอร์ (Capacitor operating voltage) มีผลกระทบอย่างมากต่อการเกิดเรโซแนนซ์

Tang and Wu.[4] ได้สรุปวิธีการลดชาร์มอนิกที่มีประสิทธิภาพในระบบจำหน่ายของโรงงานอุตสาหกรรม 3 วิธีการ คือ

- การติดตั้งวงจรกรองชาร์มอนิก (Harmonic filter installation)
- การหักล้างการเกิดชาร์มอนิกโดยอาศัย ลักษณะการเชื่อมต่อขดลวดของหม้อแปลง (Transformer configuration) แบบเดลตา-เดลตาและ แบบเดลตา-วาย
- การปรับเปลี่ยนขนาดของคาปาซิเตอร์ที่ติดตั้งด้านแรงดันต่ำ

และกล่าวว่าการเกิดชาร์มอนิกที่มีขนาดใหญ่ในระบบจำหน่ายนั้น ส่วนใหญ่มีสาเหตุเนื่องจากการเกิดเรโซแนนซ์ที่ความถี่ชาร์มอนิกของระบบ

Wouter, et al.[6] ได้กล่าวว่า ถึงแม้ว่าจะมีการติดตั้งวงจรกรองแยกทีฟ (Active filter) เพื่อลดผลของชาร์มอนิกในระบบ แต่พบว่า อินพิเดนซ์ชาร์มอนิกแบบขนาน สามารถช่วยลดผลของการแพร่กระจายของชาร์มอนิกได้เป็นอย่างมาก และ ได้ทำการศึกษาอินพิเดนซ์ชาร์มอนิกแบบขนาน ในลักษณะการลดผลของชาร์มอนิกที่แตกต่างกันไปในแต่ละค่าพิกัด (VA-Rating) ของ

อิมพิเดนซ์ชาร์มอนิกแบบบานาน โดยพบว่าอิมพิเดนซ์ความต้านทานที่มีขนาด 1 เปอร์เซ็นต์ ของทุก ๆ ความถี่ชาร์มอนิกจะมีประสิทธิภาพมาก โดยเฉพาะอย่างยิ่งในกรณีของการเกิดเรโซโนนซ์ในระบบไฟฟ้า โดยใช้การจำลอง(Simulation) กับภาระไฟฟ้าชนิดไม่เป็นเชิงเส้นสมจริง (Realistic non-linear load) คือ เรกติฟายเออร์ชนิดเฟสเดียว (Single phase rectifier)แทนที่จะใช้วิธีการสร้างแบบจำลองแหล่งจ่ายกระแสชาร์มอนิก

Bridgeman,et al.[8] ได้ทำการศึกษาวิเคราะห์ชาร์มอนิกพบว่า โดยปกติในระบบไฟฟ้ากำลังที่เกิดความผิดเพี้ยนของแรงดันสาร์มอนิกนั้น จะทำให้เกิดปัญหาขึ้นกับค่าปาซิเตอร์ที่ติดตั้งในระบบได้ กล่าวคือ ค่าปาซิเตอร์ที่ติดตั้งในระบบดังกล่าว นอกจากจะถูกใช้งานเพื่อแก้ไขปรับปรุงค่าตัวประกอบกำลังแล้ว ยังสามารถขยายค่าความผิดเพี้ยนของชาร์มอนิกนี้ได้โดยอาศัยการเกิดเรโซโนนซ์ขึ้นกับค่าอินดักแตนซ์ของแหล่งจ่ายอิเล็กทริค แล้วได้นำเสนอวิธีการแก้ไขโดยทั่วไปของปัญหานี้ที่มี การติดตั้งตีจูนรีแอคเคนซ์ (Detune reactance) เพื่อให้วงจรที่นำมาระบบแก้ไขปรับปรุงค่าตัวประกอบกำลังนี้ยังคงคุณสมบัติของความเหนี่ยววนิ่ว (Inductive) ที่ทุก ๆ ระดับชาร์มอนิก สำคัญ ของแรงดันระบบ

Lemieux[9] ได้สรุปว่าการเกิดชาร์มอนิกเรโซโนนซ์ในระบบไฟฟ้ากำลังนั้น จะเกิดขึ้นได้เมื่อความถี่ในระบบไฟฟ้ากำลังมีค่าตอบสนองตรงกับความถี่ของแหล่งกำเนิดกระแสชาร์มอนิก โดยได้ทำการศึกษาถึงการเกิดชาร์มอนิกเรโซโนนซ์ในระบบไฟฟ้ากำลัง ซึ่งส่งผลให้เกิดความเสียหายต่ออุปกรณ์สวิตช์เกียร์ระบบ 13.8 กิโลโวลต์และส่งผลให้เกิดความเสียหายต่อระบบไฟฟ้าของโรงงานตามมาด้วย โดยที่ในการศึกษานี้ได้ทำการคำนวณความถี่ธรรมชาติ(Natural frequencies) ของระบบไฟฟ้ากำลัง ที่มีลักษณะการต่อเขื่อมของระบบ(System configuration) ที่แตกต่างกันออกໄປโดยได้ทำการเปลี่ยนแปลงลักษณะของ รีแอคเคนซ์ของแหล่งจ่าย, รีแอคเคนซ์ของมอเตอร์และค่าค่าปาซิเตอเรนซ์ของระบบ นอกจากนี้ได้ทำการระบุและกำหนดแหล่งกำเนิดกระแสชาร์มอนิก, ชนิดวิธีการวัดกระแสชาร์มอนิกกับระดับแรงดันทั้งระบบ และผลของการแสดงชาร์มอนิกกับแรงดันที่เกิดขึ้น ตลอดจนวิธีการแก้ไขเพื่อที่จะหลีกเลี่ยงไม่ให้เกิด ชาร์มอนิกเรโซโนนซ์ขึ้นอีก

Currence, et al.[10] ได้ทำการวัดค่าชาร์มอนิกด้วยเครื่องมือวิเคราะห์ชาร์มอนิก (Harmonic analyzer) ในตำแหน่งต่าง ๆ ของระบบจำหน่ายภายในโรงงานอุตสาหกรรม เพื่อหาค่าของกระแสและแรงดันชาร์มอนิก และ ใช้แผนภาพอิมพิเดนซ์ของระบบ(System impedance diagram) เป็นแบบจำลองระบบไฟฟ้า ตลอดจนคำนวณหาความถี่ธรรมชาติของระบบ โดยพบว่า จะเกิดชาร์มอนิกเรโซโนนซ์ขึ้นที่ค่าไกล์เดียงกับความถี่ชาร์มอนิกลำดับที่ 5 และ 7 ทั้งนี้ขึ้นกับลักษณะการต่อเขื่อมของระบบไฟฟ้าด้วย อีกทั้งยังได้นำเสนอของรสมูลของโรงงานที่ทำการศึกษาเพื่อแสดงให้เห็นถึงการขยายขนาดของกระแสและแรงดันไฟฟ้า อันเนื่องมาจากผลของชาร์มอนิกเรโซโนนซ์

Bridgeman,et al.[11] ได้เสนอวิธีการคำนวณค่าอิมพีเดนซ์ชาร์มอนิกของระบบไฟฟ้าที่มีการใช้งานสวิตซิ่งค่าป่าชีเตอร์ และได้สรุปว่า คอนเวอร์เตอร์เป็นอุปกรณ์ที่ทำให้เกิดชาร์มอนิกแล้วส่งผลให้เกิดเรโซแนนซ์ได้ แต่อย่างไรก็ตาม คอนเวอร์เตอร์ก็อาจช่วยให้เกิดการหน่วง(Damping)ของเรโซแนนซ์ได้ด้วยเช่นกัน โดยผลของการหน่วงที่พบนั้น เกิดจากโหลดแบบเชิงเส้นและคอนเวอร์เตอร์

Ashari , et al.[13] ได้เสนอวิธีการในการลดผลกระทบกระแสชาร์มอนิก และ การชดเชยกำลังไฟฟ้ารีแอกทีฟในระบบจำหน่ายแรงต่ำ 3 เพส 4 สาย ซึ่งมีภาระไฟฟ้าเป็นคอนเวอร์เตอร์แบบมอคุเต้นความกว้างของพลัสต์ 2 ทิศทาง (Bidirectional PWM converter) และมีแบตเตอรี่ติดตั้งใช้งานด้วย และพบว่า การลดชาร์มอนิกที่เกิดขึ้นในกระแสที่ขาเข้ามาในระบบ ยังส่งผลให้กระแสชาร์มอนิกที่เกิดขึ้นในตัวนำนิวทรัลมีค่าลดลงมากอีกด้วย โดยใช้โปรแกรม PSCAD/EMTDC เป็นโปรแกรมช่วยในการจำลอง

Lundquist and Bollen [14] ได้เสนอหลักการการให้ลดของกำลังไฟฟ้าแยกทีฟชาร์มอนิกในระบบจำหน่ายแรงต่ำและปานกลาง โดยปรับเปลี่ยนค่า โหลดของระบบไฟฟ้ากำลังและค่านี้ถึงผลที่เกิดขึ้นเนื่องจากค่าอิมพีเดนซ์ของแหล่งจ่ายซึ่งมีสาเหตุมาจากการของกรอง ค่าป่าชีเตอร์แบบก์ โหลดเชิงเส้นและโหลดไม่เป็นเชิงเส้น พนวจการให้ลดของกำลังไฟฟ้าแยกทีฟชาร์มอนิกเป็นเพียงกำลังไฟฟ้านางส่วนซึ่งไม่ได้แทนการให้ลดที่แท้จริงทั้งหมดไปยังภาระไฟฟ้า

## บทที่ 2

### หลักการและทฤษฎีที่เกี่ยวข้อง

ระดับของแรงดันและกระแสหาร์มอนิกที่เพิ่มขึ้นในระบบไฟฟ้า ส่วนใหญ่แล้วเกิดจากการนำอุปกรณ์ซึ่งสามารถสร้างหาร์มอนิกมาต่อใช้งาน อุปกรณ์เหล่านี้ได้ถูกนำมาใช้งานอย่างแพร่หลายทั้งในทางอุตสาหกรรม พานิชย์และตามบ้านเรือน โดยมีวัตถุประสงค์เพื่อความคุ้มแรงดัน ความเร็ว รอบ เปลี่ยนค่าความถี่ และแปลงผันกำลังไฟฟ้า เป็นต้น การนำค่าปานิชิเตอร์มาใช้งานนั้นส่งผลให้ช่วยปรับปรุงค่าตัวประกอบกำลังทำให้ประสิทธิภาพของระบบเพิ่มมากขึ้น แต่ก็ส่งผลกระทบต่อระดับของหาร์มอนิกด้วยเช่นกัน กล่าวคือ แม้ว่าค่าปานิชิเตอร์จะไม่ได้เป็นอุปกรณ์ที่ให้กำเนิดหาร์มอนิกขึ้นก็ตามแต่จะทำให้เกิดลักษณะหรือเส้นทางของวงจรที่ซึ่งอาจทำให้เกิดสภาวะเรโซแนนซ์ขึ้นได้ นอกจากนี้ค่าปานิชิเตอร์ยังมีผลต่อขนาดของแรงดันและกระแสหาร์มอนิกซึ่งเกิดขึ้นในระบบของการไฟฟ้าตลอดจนภาระไฟฟ้าของผู้ใช้ไฟอีกด้วย การแก้ปัญหาหาร์มอนิกโดยทั่วไป ได้แก่ การใช้ค่าปานิชิเตอร์แบบวายโดยไม่ต้องดิน, การเปลี่ยนขนาดหรือตำแหน่งติดตั้งค่าปานิชิเตอร์, การเพิ่ม รีแอคเตอร์เข้ากับค่าปานิชิเตอร์เดิมที่ใช้งาน, การเพิ่มค่าปานิชิเตอร์ที่เป็นวงจรกรองเข้าไป ตลอดจนการควบคุมการปลดล็อกค่าปานิชิเตอร์เพื่อหลีกเลี่ยงภาวะเรโซแนนซ์

#### 2.1 การเกิดแรงดันหาร์มอนิกและกระแสหาร์มอนิก

โดยปกติ เมื่อทำการจ่ายแรงดันไฟฟ้าที่มีลักษณะเป็นคลื่นรูปไข่นี่ให้ต่อกรุ่นภาระไฟฟ้าที่มีลักษณะไม่เป็นเรียบเส้น จะส่งผลให้เกิดกระแสที่มีรูปร่องไม่เป็นไข่นี้ให้ผ่านภาระไฟฟ้าดังกล่าวได้ ในทางกลับกัน เมื่อมีกระแสที่มีรูปร่องเป็นไข่นี้จ่ายให้กับภาระไฟฟ้าที่มีลักษณะไม่เป็นเรียบเส้นก็จะส่งผลให้มีแรงดันที่มีรูปร่องไม่เป็นไข่นั้นต่อกรุ่นภาระไฟฟ้าดังกล่าวด้วยเช่นกัน

คอนเวอร์เตอร์ เป็นภาระไฟฟ้าชนิดหนึ่งที่มีอิมพีเดนซ์แบบไม่เป็นเรียบเส้น และเมื่อมีการติดตั้งค่าปานิชิเตอร์ เพื่อปรับปรุงค่าตัวประกอบกำลังกับระบบไฟฟ้าที่มีการใช้งานคอนเวอร์เตอร์ ดังกล่าว จึงมีความเป็นไปได้ที่จะเกิดภาวะเรโซแนนซ์ขึ้นที่ค่าความถี่เดียวกันนี้ได้

ถึงแม้ว่าค่าปานิชิเตอร์ที่ติดตั้งใช้งานจะไม่ได้เป็นอุปกรณ์ที่สร้างหาร์มอนิก แต่ผลของค่าปานิชิเตอร์ที่มีต่ออิมพีเดนซ์ของวงจร จะส่งผลให้เกิดแรงดันหาร์มอนิกขึ้นซึ่งเป็นไปได้ทั้งสองกรณีคือ มีแรงดันหาร์มอนิกลดลงหรือเพิ่มขึ้น

## 2.2 คอนเวอร์เตอร์กำลังแบบสถิติ (Static Power Converter)

การศึกษาและทำความเข้าใจในทฤษฎีที่เกี่ยวข้องกับคอนเวอร์เตอร์กำลังแบบสถิตินี้ มีวัตถุประสงค์ เพื่อที่จะให้ทราบว่ากระแสที่มีลักษณะรูปคลื่นไม่เป็นไซนัส ก่อให้เกิดปัญหา ชำรุดนิကได้อย่างไร จากรูปที่ 2.1 เป็นรูปตัวอย่างของคอนเวอร์เตอร์กำลังแบบสถิติ 6 พัลส์ ซึ่งจ่ายกระแสไฟฟ้ากระแสตรง (DC load) ด้วยค่ากระแสคงที่ สวิตช์แต่ละสวิตช์ในคอนเวอร์เตอร์จะทำงานเพื่อให้ได้กระแสคงที่โดยเรียงลำดับกันไปจนครบทั้งสามเฟส ในทางอุดมคติแล้ว กระแสที่คงที่นี้จะส่งผลให้เกิดกระแสที่มีลักษณะรูปคลื่นเป็นสี่เหลี่ยมไหลในระบบไฟฟ้าสามเฟส ซึ่งจากการวิเคราะห์ของฟูริเยร์ได้ระบุถึงกระแสที่รบกวนที่อันดับและขนาดต่างๆ ดังสมการที่ (2.1)

$$h = pn \pm 1 \quad (2.1)$$

$$I_h = I_1 / h$$

โดยที่

$h$  คือ อันดับของาร์มอนิก

$p$  คือ จำนวนนับ ได้แก่ 1, 2, ...

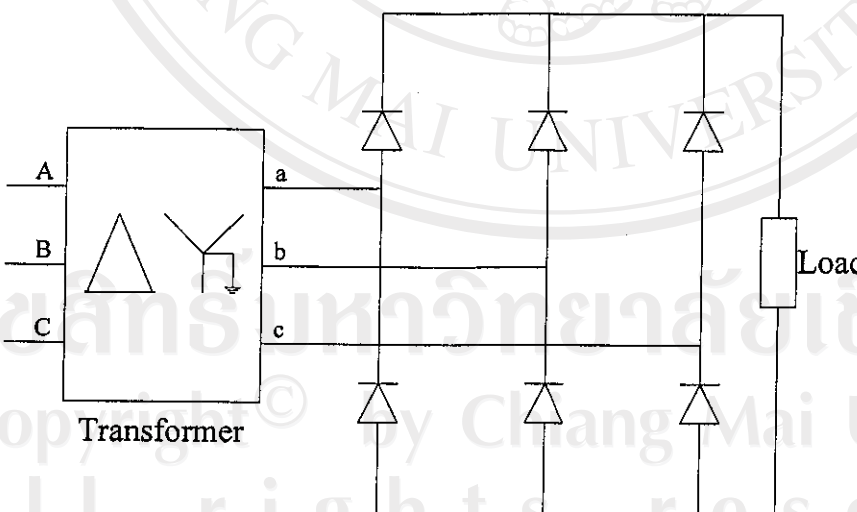
$n$  คือ จำนวนของพัลส์ที่เกิดขึ้นกับกระแสของเรกติฟายเออร์ (Rectifier)

$I_1$  คือ ขนาดของกระแสที่ความถี่มูลฐาน

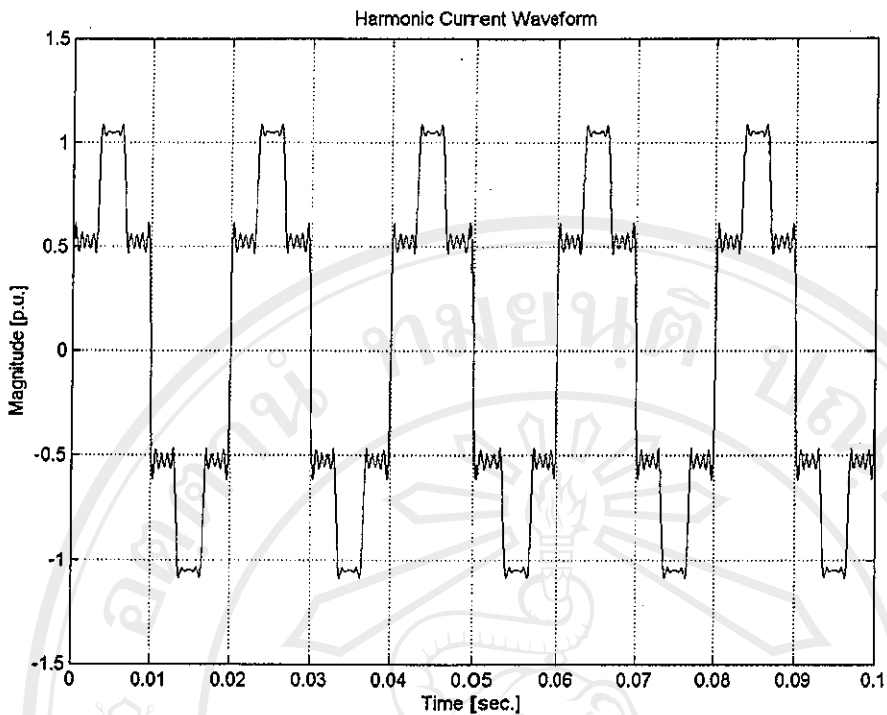
$I_h$  คือ ขนาดของกระแสที่ความถี่มูลฐานที่  $h$

ดังนั้น ตัวเรียงกระแสชนิด 6 พัลส์ จะสร้างความถี่าร์มอนิกอันดับที่ 5, 7, 11, 13, 17, ...

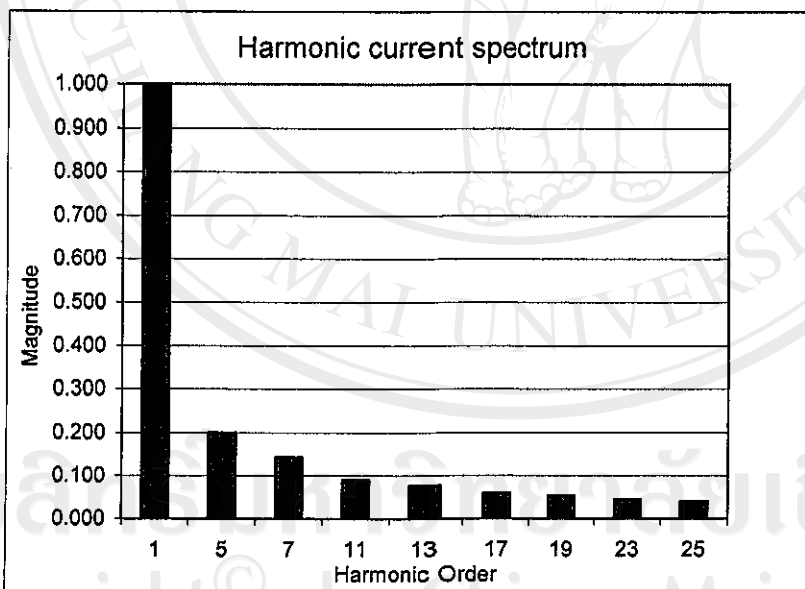
เป็นต้น โดยมีตัวอย่างของรูปคลื่นและスペกตรัมของกระแสดังรูปที่ 2.2 และ 2.3 ตามลำดับ



รูปที่ 2.1 วงจรคอนเวอร์เตอร์แบบ 6 พัลส์



รูปที่ 2.2 รูปคลื่นกระแสของคอนเวอร์เตอร์แบบ 6 พลั๊ส

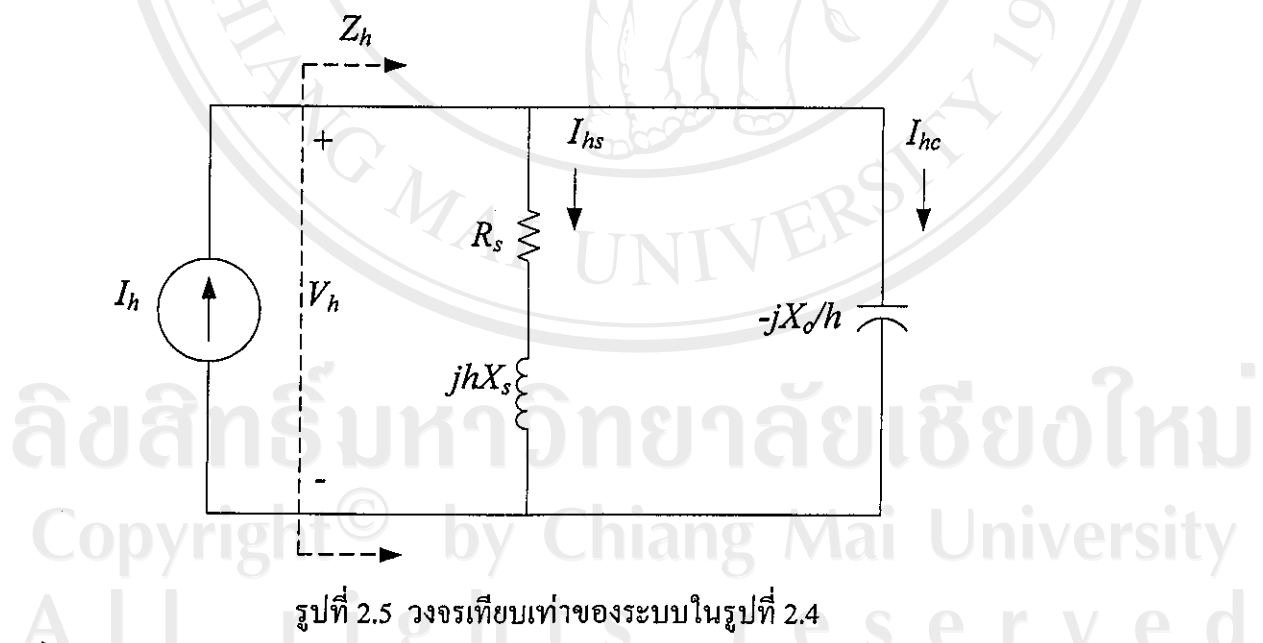
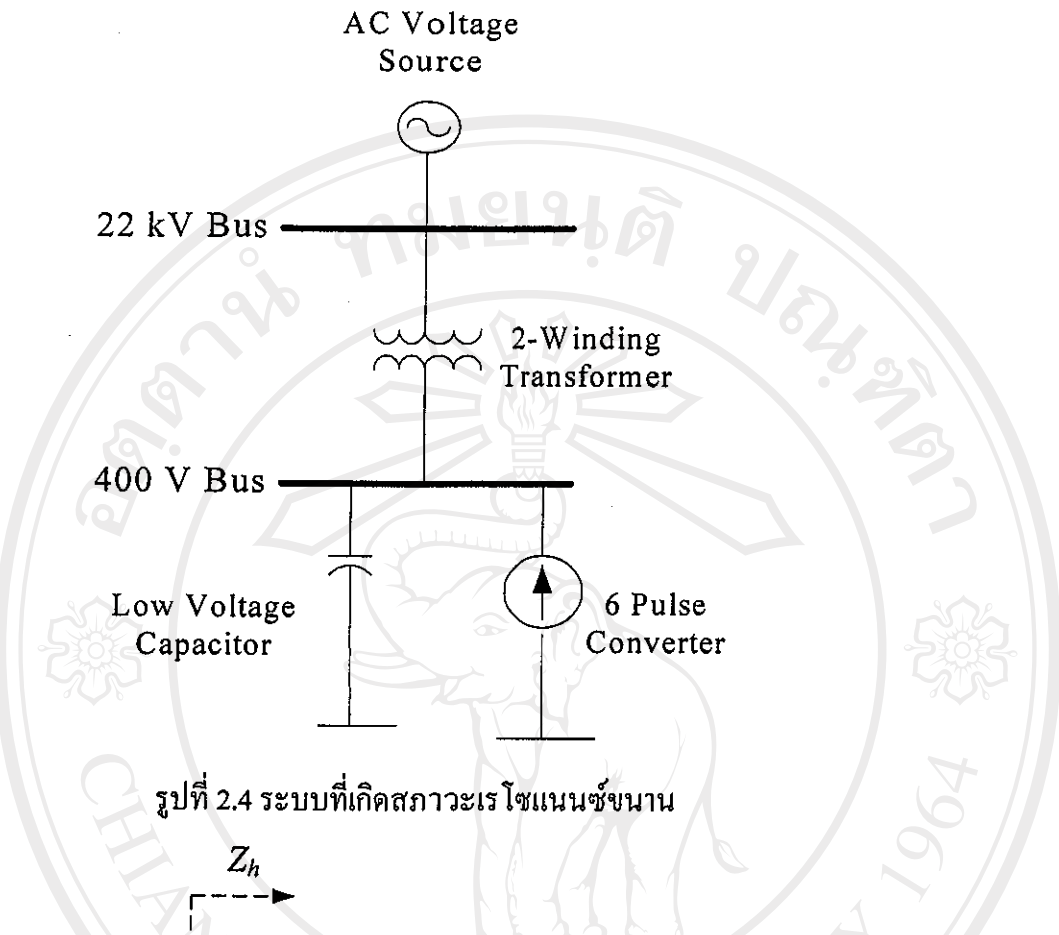


รูปที่ 2.3 สเปกตรัมของกระแสของคอนเวอร์เตอร์แบบ 6 พลั๊ส

### 2.3 เรโซโนนซ์ขนาน (Parallel resonance)

โดยปกติในวงจรไฟฟ้าใด ๆ จะประกอบด้วยห้องส่วนประกอบของวงจรที่เป็นคาปิชิตเคนซ์ และอินดักเต้นซ์ ซึ่งจะมีค่าความถี่ธรรมชาติค่าหนึ่ง และเมื่ออุปกรณ์ไฟฟ้าในวงจรซึ่งให้กำเนิดความถี่ที่มีค่าตรงกับหรือใกล้เคียงกับค่าความถี่ธรรมชาติดังกล่าว จะเกิดภาวะเรโซโนนซ์ขึ้น ทำให้

เกิดค่ากระแสหรือแรงดันที่มีค่าสูงขึ้นได้ ดังรูปที่ 2.4 เป็นระบบที่อาจเกิดสภาพเรโซแนนซ์ขึ้นได้ และสามารถเขียนเป็นวงจรเทียบเท่าได้ดังรูปที่ 2.5



โดยที่  $h$  คือ อัตราอันดับของชาร์มอนิก

$I_h$  คือ กระแสที่ไฟลจากแหล่งกำเนิดชาร์มอนิก(คอนเวอร์เตอร์แบบ 6 พลัสด์)

$I_{hs}$  และ  $I_{hc}$  คือ กระแสชาร์มอนิกที่ไฟลสู่ระบบและภาคปั๊มเตอร์ตามลำดับ

$Z_h$  คือ อิมพีเดนซ์เทวินชาร์มอนิกอันดับที่  $h$

$V_h$  คือ แรงดันขาร์มอนิกที่ตอกคร่อม  $Z_h$

$R_s$  และ  $X_s$  คือ ความต้านทานและรีแอคแทนซ์ของระบบ ได้แก่ หม้อแปลงไฟฟ้า กับแหล่งจ่ายแรงดันกระแสสัมบูรณ์

$X_c$  คือ รีแอคแทนซ์ของค่าปานิชิเตอร์ซึ่งต่อ กับบัส 400 โวลต์

จากรูปที่ 2.5 เมื่อพิจารณาจากแหล่งกำเนิดขาร์มอนิก ที่ค่าความถี่ขาร์มอนิกค่าหนึ่ง ค่าปานิชิเตอร์ที่ต่อเชื่อมอยู่นั้น จะอยู่ในลักษณะการต่อขนานกับอินดักเต้นซ์เทียบท่าของระบบ (ซึ่งประกอบด้วยอินดักเต้นซ์ของหม้อแปลงและแหล่งจ่ายไฟ) ที่สภาวะเรโซแนนซ์ ค่าปานิชิเตอร์ รีแอคแทนซ์ ( $X_c$ ) มีค่าเท่ากับค่ารีแอคแทนซ์ของระบบ ผลให้อิมพีเดนซ์ที่เกิดขึ้นเมื่อพิจารณา จากแหล่งกำเนิดขาร์มอนิกนั้นมีค่าสูงมาก ดังตัวอย่างในรูปที่ 2.6 เป็นตัวอย่างของผลตอบสนอง ความถี่ของระบบที่เกิดเรโซแนนซ์บน ซึ่งจากรูปที่ 2.6 ฉุกเฉินที่เกิดเรโซแนนซ์ตรงกับขาร์มอนิก อันดับที่ 12.9 โดยที่ขาร์มอนิกอันดับนี้จะมีค่าอิมพีเดนซ์สูงมาก ๆ และถ้าหากว่าภายในระบบมี แหล่งกำเนิดกระแสขาร์มอนิก จ่ายกระแสขาร์มอนิกอันดับที่ 13 เช่นมาจะส่งผลให้เกิดความผิดเพี้ยน ของแรงดันที่บัสแรงดันเพิ่มมากขึ้น ทำให้กระแสที่ไฟหลักในวงรอบ (loop) ของค่าปานิชิเตอร์กับ รีแอคแทนซ์ของระบบและหม้อแปลงมีค่าเพิ่มขึ้นมาก ถึงแม้ว่าแหล่งจ่ายกระแสขาร์มอนิกจะมี ขนาดน้อยกว่าตาม

จากรูปที่ 2.4 มีคอนเวอร์เตอร์ 6 พัลส์เป็นแหล่งกำเนิดกระแสขาร์มอนิก ( $I_h$ ) กระแส ขาร์มอนิกที่ไฟหลักเข้าสู่ระบบไฟฟ้าเป็น  $I_{hs}$  และกระแสขาร์มอนิกที่ไฟหลักเข้าสู่ค่าปานิชิเตอร์เป็น  $I_{hc}$  โดยที่  $R_s$  กับ  $j\hbar X_s$  เป็นค่าความต้านทานและรีแอคแทนซ์ของหม้อแปลงรวมทั้งระบบไฟฟ้า และค่าปานิชิเตอร์มีขนาด  $-jX_c/h$  ติดตั้งอยู่ทางด้านทุกด้านของหม้อแปลง เมื่อพิจารณาค่า อิมพีเดนซ์โดยรวมจากแหล่งกำเนิดกระแสขาร์มอนิก ( $Z_h$ ) ออกไป จะได้ว่า

$$Z_h = \frac{(R_s + j\hbar X_s)(-\frac{jX_c}{h})}{R_s + j(\hbar X_s - \frac{X_c}{h})} \quad (2.2)$$

จากรูปที่ 2.4 แสดงถึงค่าความถี่ของเรโซแนนซ์ที่ได้ถ้าหากว่า

$$\hbar X_s = \frac{X_c}{h} \quad (2.3)$$

ดังนั้นอันดับของขาร์มอนิกที่เกิดเรโซแนนซ์มีค่าเป็น

$$\hbar = \sqrt{\frac{X_c}{X_s}} \quad (2.4)$$

กระแสขาร์มอนิกที่ไฟหลักค่าปานิชิเตอร์และกระแสขาร์มอนิกที่ไฟหลักเข้าสู่ระบบไฟฟ้า คำนวณได้จาก

$$I_{hc} = \frac{V_h}{(-jX_c / h)} = \frac{(R_s + jhX_s) \cdot I_h}{R_s + j(hX_s - \frac{X_c}{h})} \quad (2.5)$$

$$I_{hs} = \frac{V_h}{R_s + jhX_s} = \frac{(-jX_c / h) \cdot I_h}{R_s + j(hX_s - \frac{X_c}{h})} \quad (2.6)$$

โดยที่สภาวะเรโซแนนซ์ จะได้ว่า

$$I_{hc} = \left( 1 + \frac{jhX_s}{R_s} \right) \cdot I_h \quad (2.7)$$

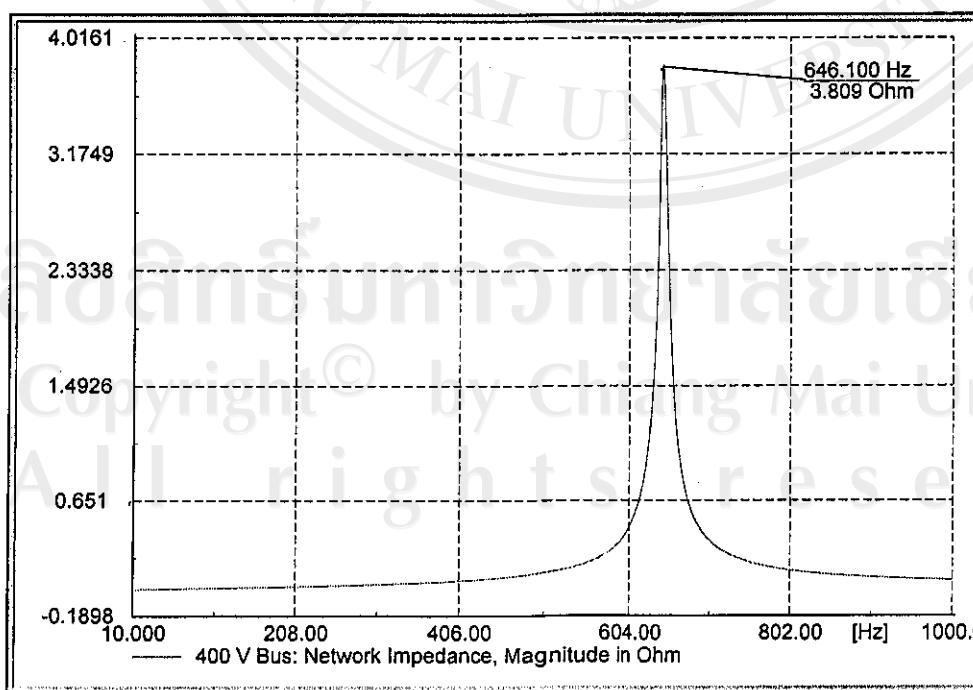
$$I_{hs} = \left( \frac{-jX_c / h}{R_s} \right) \cdot I_h \quad (2.8)$$

ถ้ากำหนดให้ค่าความถี่ harmonic ใด มีอัตราการขยายกระแสอยู่ในเกณฑ์ที่ใกล้เข้าสู่ค่าปัจจิตร์เป็น  $M_c$  และ อัตราการขยายกระแสอยู่ในเกณฑ์ที่ใกล้เข้าสู่ระบบไฟฟ้าเป็น  $M_s$  จะได้ว่า

$$M_c = \frac{I_{hc}}{I_h} = \left( \frac{R_s + jhX_s}{R_s + j(hX_s - \frac{X_c}{h})} \right) \quad (2.9)$$

$$M_s = \frac{I_{hs}}{I_h} = \left( \frac{-jX_c / h}{R_s + j(hX_s - \frac{X_c}{h})} \right) \quad (2.10)$$

เมื่อพิจารณาจากสมการที่ (2.9) และ (2.10) พบร่วมกับ อัตราการขยายกระแสอยู่ในเกณฑ์ที่ใกล้เข้าสู่ค่าปัจจิตร์ และ ระบบไฟฟ้านั้น จะมีค่าเปลี่ยนแปลงไปตามค่าความถี่ harmonic ( $h$ )



รูปที่ 2.6 ตัวอย่างผลตอบสนองความถี่ของระบบที่เกิดเรโซแนนซ์บน

ความถี่เรโซแนนซ์ ( $f$ ) สามารถคำนวณหาจาก

$$f = \frac{1}{2\pi\sqrt{LC}} \quad (2.11)$$

ในบางครั้งการวิเคราะห์ระบบไฟฟ้ากำลังนั้น อาจไม่สามารถแทนค่าของ  $L$  และ  $C$  โดยตรงได้ สามารถอาศัยความสัมพันธ์อื่นมาช่วยในการคำนวณหาความถี่เรโซแนนซ์ ซึ่งคำนวณหาได้จาก

$$h = \sqrt{\frac{X_C}{X_{SC}}} = \sqrt{\frac{MVA_{SC}}{MVAR_C}} \quad (2.12)$$

เมื่อ  $h$  คือ อันดับอาร์มอนิกเรโซแนนซ์

$X_{SC}$  คือ ค่ารีแอกแตนซ์ลักษณะของระบบ

$X_C$  คือ ค่ารีแอกแตนซ์ของคาปิซิเตอร์

$MVA_{SC}$  คือ ค่าพิกัดกำลังไฟฟ้าลักษณะของระบบ [MVA]

$MVAR_C$  คือ ค่าพิกัดของคาปิซิเตอร์ [MVAR]

สำหรับมาตรฐาน ซึ่งนำมาใช้ในการประเมินคาปิซิเตอร์ที่ติดตั้งใช้งานในสภาพะของระบบที่มีอาร์มอนิกนั้น ได้แก่

- มาตรฐาน IEEE Std 1036-1992 : IEEE Guide for Application of Shunt Power Capacitors กล่าวถึงข้อแนะนำในการใช้งานคาปิซิเตอร์
- มาตรฐาน IEEE Std 519-1992 : IEEE Recommended Practice and Requirements for Harmonic Control in Electric Power Systems กล่าวถึงข้อแนะนำในการควบคุมคุณภาพอนนิกในระบบไฟฟ้า

#### 2.4 จุดจำกัดของคาปิซิเตอร์ (Capacitor limitation)

ผลกระทบของอาร์มอนิกต่อคาปิซิเตอร์ที่เกิดขึ้น ได้แก่ ความร้อนสูงเกิน และ ความเครียดไฟอิเล็กทริกที่เพิ่มมากขึ้นต่อตัวคาปิซิเตอร์ ตามมาตรฐาน IEEE Std 1036-1992 ได้กำหนดค่าจุดจำกัดของแรงดัน กระแสและกำลังไฟฟ้ารีแอกทิฟของคาปิซิเตอร์ เพื่อใช้กำหนดระดับอาร์มอนิกสูงสุดที่ยอมให้เกิดขึ้นได้ โดยกำหนดไว้ว่า คาปิซิเตอร์สามารถใช้งานอย่างต่อเนื่องในสภาพะที่มีอาร์มอนิกได้ ภายใต้จุดจำกัดของค่าต่างๆ ดังนี้

- ที่ 110% ของแรงดันพิกิลาร์เรียมอส
- ที่ 120% ของแรงดันค่ายอด
- ที่ 180% ของกระแสอาเรียมอส
- ที่ 135% ของกำลังไฟฟ้ารีแอกทิฟพิกัด

โดยการประเมินค่าขีดจำกัดต่าง ๆ ดังกล่าวที่สามารถคำนวณหาจาก

### 1. ค่ากระแส

ทำการคำนวณหากระแสอาร์เรียมเอกสารที่ให้ผลเข้าสู่ค่าปาซิเตอร์ จาก

$$I_{c(rms)} = \sqrt{I_{c1}^2 + \dots + I_{ch}^2} \quad (2.13)$$

เมื่อ  $I_{c(rms)}$  คือ กระแสรวมซึ่งให้ผลเข้าสู่ค่าปาซิเตอร์

$I_{ch}$  คือ กระแสอาร์มอนิกอาร์เรียมเอกสารอันดับที่  $h$  ที่ให้ผลเข้าสู่ค่าปาซิเตอร์

โดยตามมาตรฐาน IEEE Std 1036-1992 ได้กำหนดไว้ว่าค่าปาซิเตอร์สามารถใช้งานได้ตามปกติถ้าหากว่ากระแสอาร์เรียมเอกสารมีขนาดไม่เกิน 180% ของพิกัดกระแสของค่าปาซิเตอร์

### 2. ค่าแรงดัน

#### 2.1 แรงดันอาร์เรียมเอกสาร (RMS Voltage)

ค่าแรงดันอาร์เรียมเอกสารที่ตกลงร่วมค่าปาซิเตอร์คำนวณหาได้จาก

$$V_{rms} = \sqrt{V_1^2 + V_3^2 + V_5^2 + V_7^2 + \dots + V_h^2} \quad (2.14)$$

โดยที่  $V_{rms}$

คือ ค่าแรงดันหาร์มอนิกอาร์เรียมเอกสาร

$V_1$

คือ ค่าแรงดันอาร์เรียมเอกสารที่ความถี่มูลฐาน

$V_3, V_5, \dots, V_h$

คือ ค่าแรงดันหาร์มอนิกอาร์เรียมเอกสารที่อันดับต่าง ๆ

#### 2.2 แรงดันค่าขีด (Peak Voltage)

โดยปกติ ค่าปาซิเตอร์จะต้องมีค่าความคงทนได้อิเล็กทริก (Dielectric Stress) ต่อค่าแรงดันค่าขีดซึ่งเกิดจากความถี่มูลฐานและความถี่หาร์มอนิกได้ โดยค่าแรงดันค่าขีดของค่าปาซิเตอร์คำนวณหาจาก

$$V_{peak} = \sqrt{2} \cdot V_{rms} \quad (2.15)$$

โดยที่  $V_{peak}$  คือ ค่าแรงดันค่าขีด

$V_{rms}$  คือ ค่าแรงดันหาร์มอนิกอาร์เรียมเอกสาร

### 3. กำลังไฟฟ้ารีแอกทีฟ

กำลังไฟฟ้ารีแอกทีฟของการไฟฟ้าค่าปาซิเตอร์ คำนวณได้จาก ผลรวมของกำลังไฟฟ้ารีแอกทีฟ (kVAR) ที่ความถี่มูลฐานและความถี่หาร์มอนิกต่าง ๆ

$$kVAR = \sum_h (V_h I_h) = \sum_h \left( \frac{V_h^2}{X_h} \right) \quad (2.16)$$

การใช้งานค่าปาซิเตอร์ในสภาวะที่มีหาร์มอนิกเกินกว่าค่าขีดจำกัดนี้ ส่งผลให้เกิดความเสียหายต่อค่าปาซิเตอร์ได้ เช่น การใหม่ชารุดของพิวเตอร์ หรือ การชำรุดของค่าปาซิเตอร์ โดยสาเหตุ

ของการชำรุดเนื่องจากว่า คาปซิเตอร์อยู่ในส่วนของวงจรเรโซแนนซ์ ทำให้เกิดการขยายของ ชาร์มอนิกบางลำดับ อาจเกิดแรงดันหรือกระแสค่าสูง ณ ตำแหน่งที่ติดตั้งคาปซิเตอร์ได้

## 2.5 ขีดจำกัดความผิดเพี้ยนชาร์มอนิก (Harmonic distortion limitation)

ค่าขีดจำกัดความผิดเพี้ยนชาร์มอนิกที่กำหนดไว้ในมาตรฐาน IEEE Std 519-1992 สรุปได้ ดังตารางที่ 2.1 โดยปกติแล้วจะใช้ค่าความผิดเพี้ยนชาร์มอนิกรวม (Total Harmonic Distortion: THD) เป็นค่าที่อธิบายความผิดเพี้ยนของรูปคลื่นว่ามีมากน้อยเพียงใด โดยมีนิยามดังนี้

$$THD = \sqrt{\sum_{h=2}^{\infty} V_h^2} / V_1 \quad (2.17)$$

ตารางที่ 2.1 ค่าขีดจำกัดความผิดเพี้ยนของแรงดันสำหรับระบบไฟฟ้า

ระดับแรงดันของระบบ (kV)	Total Voltage THD (%)
$\leq 69$	5.0
69 – 161	2.5
$\geq 161$	1.5

## 2.6 การประเมินกำลังสูญเสียในหม้อแปลงที่ลดลงจากการติดตั้งคาปซิเตอร์

กำลังสูญเสียภายในหม้อแปลงไฟฟ้า แบ่งเป็น 2 ส่วน ได้แก่ กำลังสูญเสียในแกนเหล็ก (Core loss) และกำลังสูญเสียในขดลวด(Copper loss) โดยปกติกำลังสูญเสียในแกนเหล็กจะมีค่า โดยประมาณเท่ากับกำลังที่หม้อแปลงดึงจากแหล่งจ่ายขณะที่ไม่มีภาระไฟฟ้าต่ออยู่ ซึ่งจะมีค่าคงที่ ค่าหนึ่ง ส่วนกำลังสูญเสียในขดลวดจะเปรียบัตั้งกับค่ากระแสไฟฟ้าของภาระไฟฟ้ายกกำลังสอง ซึ่งมีความสัมพันธ์โดยตรงต่อค่าตัวประกอบกำลัง กล่าวคือ เมื่อทำการปรับปรุงค่าตัวประกอบกำลังให้สูงขึ้น กระแสในสายลอดลง ความสูญเสียในขดลวดหม้อแปลงก็จะลดลงด้วย โดยสามารถหา กำลังสูญเสียที่ลดลงได้จาก

$$P = \sqrt{3}V_L I_L \cos \theta \quad (2.18)$$

$$I_L = \frac{P}{\sqrt{3}V_L \cos \theta} \quad (2.19)$$

ค่ากำลังสูญเสียในหม้อแปลง ก่อนติดตั้งคาปซิเตอร์ มีค่าเป็น

$$\begin{aligned}
 P_{loss 1} &= 3I_L^2 R \\
 &= 3 \left( \frac{P}{\sqrt{3}V_L \cos \theta_1} \right)^2 R \\
 &= \frac{P^2 R}{V_L^2 (\cos \theta_1)^2}
 \end{aligned}$$

ในท่านองเดียวกัน ค่ากำลังสูญเสียในหม้อแปลง หลังทำการติดตั้งค่าปานิชเตอร์ มีค่าเป็น

$$P_{loss 2} = \frac{P^2 R}{V_L^2 (\cos \theta_2)^2}$$

ดังนั้น สามารถหาค่าเบอร์เซ็นต์กำลังสูญเสียในหม้อแปลงที่ลดลงได้จาก

$$\begin{aligned}
 \% \Delta P_{loss} &= \frac{\Delta P_{loss}}{P_{loss 1}} \times 100 \\
 &= \frac{P_{loss 1} - P_{loss 2}}{P_{loss 1}} \times 100 \\
 &= \frac{\frac{P^2 R}{V_L^2 (\cos \theta_1)^2} - \frac{P^2 R}{V_L^2 (\cos \theta_2)^2}}{\frac{P^2 R}{V_L^2 (\cos \theta_1)^2}} \times 100 \\
 &= (\cos \theta_1)^2 \left( \frac{1}{(\cos \theta_1)^2} - \frac{1}{(\cos \theta_2)^2} \right) \\
 \% \Delta P_{loss} &= \left( 1 - \left( \frac{\cos \theta_1}{\cos \theta_2} \right)^2 \right) \times 100 \quad (2.20)
 \end{aligned}$$

โดยที่  $\cos \theta_1$  เป็นค่าตัวประกอบกำลังก่อนติดตั้งค่าปานิชเตอร์

$\cos \theta_2$  เป็นค่าตัวประกอบกำลังหลังติดตั้งค่าปานิชเตอร์

## 2.7 วงจรกรองพาสซีฟ (Passive Filter)

วงจรกรองพาสซีฟ หมายถึง อุปกรณ์กรองขยายมอนิกที่ประกอบด้วยอุปกรณ์คือ ตัวต้านทาน(R) รีแอคเตอร์(L) และ ค่าปานิชเตอร์(C) ซึ่งได้รับการออกแบบให้มีค่า R, L และ C ที่สัมพันธ์กัน มีคุณลักษณะเหมือนสภาพที่อิมพีเดนซ์ต่ำมากหรือลัดวงจร (Low impedance / Short circuit) สำหรับที่ขยายมอนิกได ๆ ตลอดจนติดตั้งเป็นภาระไฟฟ้าตัวหนึ่งสำหรับระบบไฟฟ้า ดังนั้น กระแสขยายมอนิกในระบบจะมองเห็นวงจรกรองพาสซีฟเป็นเสมือนการลัดวงจรและไม่ก่อผลกระทบต่อวงจรกรองพาสซีฟโดยແບບจะไม่รบกวนระบบไฟฟ้าเลย

### 2.7.1 วงจรกรองดีจูน (Detune filter)

วงจรกรองดีจูน หมายถึง วงจรกรองพารามิเตอร์ไฟฟ้าที่สามารถแก้ปัญหาาร์มอนิกที่เกิดจากสภาวะเรโซแนนซ์ข่านระหว่างหม้อแปลงและค่าปารามิเตอร์ที่ใช้ในการปรับปรุงค่าตัวประกอบกำลังในระบบไฟฟ้าได้ โดยทำหน้าที่เปลี่ยนค่าความถี่เรโซแนนซ์ระหว่างหม้อแปลงและค่าปารามิเตอร์ให้อยู่ต่ำกว่าทุกอันดับาร์มอนิกที่ประปันอยู่ในระบบไฟฟ้า จึงเป็นการหลีกเดี่ยงไม่ให้เกิดเรโซแนนซ์ข่านขึ้นที่ความถี่าร์มอนิกต่าง ๆ โดยปกติ วงจรกรองดีจูนถูกนำมาใช้ในระบบที่มีปริมาณาร์มอนิกไม่มากแต่เกิดปัญหาเรโซแนนซ์ข่านเมื่อติดตั้งค่าปารามิเตอร์ในระบบไฟฟ้า โดยวงจรกรองดีจูนที่ใช้งานทั่วไปจะมีขนาดของอินดักทีฟรีแอกแทนซ์ประมาณ 5-7% ของค่าปารามิเตอร์ไฟฟ้า

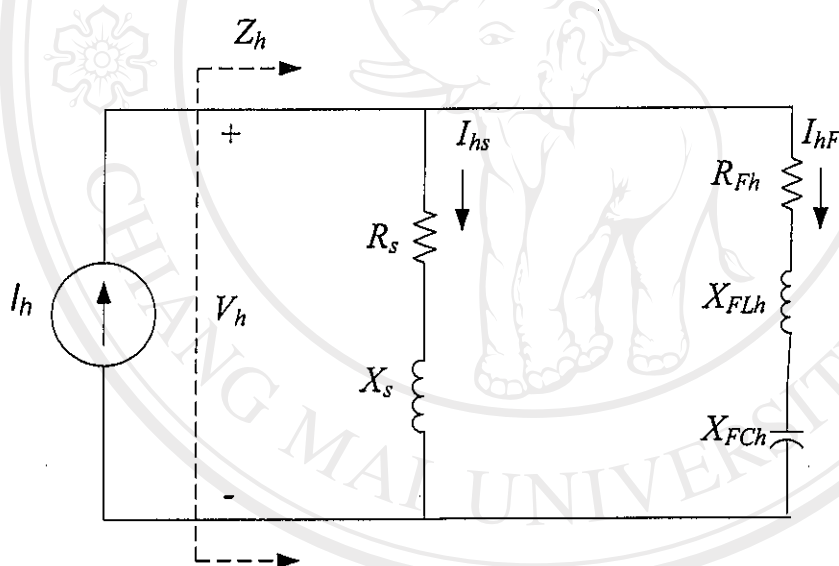
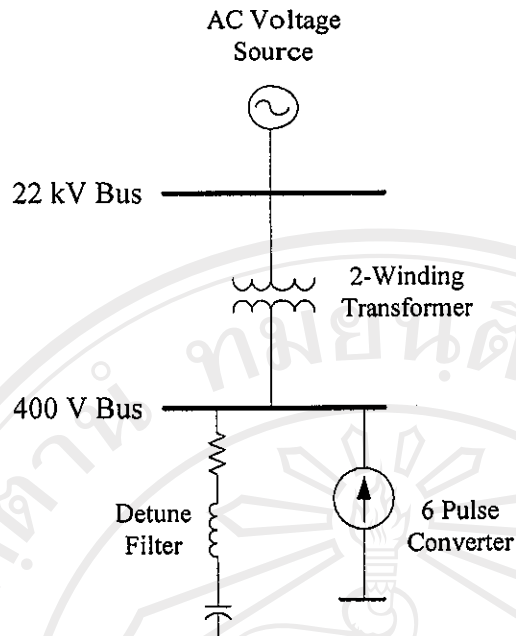
ในการศึกษานี้ ได้ทำการตัดแปลงค่าปารามิเตอร์ให้เป็นวงจรกรองดีจูน โดยการต่อรีแอกแทนซ์ขนาด 7% ของค่าปารามิเตอร์ไฟฟ้า แล้วต่ออนุกรมเข้ากับค่าปารามิเตอร์ จะทำให้เกิดวงจรเรโซแนนซ์แบบข่านและอนุกรมพร้อม ๆ กัน โดยวงจรเรโซแนนซ์ข่านที่เกิดขึ้นนี้ จะมีค่าความถี่เรโซแนนซ์ข่านอยู่ต่ำกว่าความถี่าร์มอนิกของระบบไฟฟ้า

### 2.8 การใช้วงจรกรองดีจูนในการลดผลของการอาร์มอนิกเรโซแนนซ์

ค่าปารามิเตอร์ซึ่งติดตั้งเพื่อใช้ปรับปรุงค่าตัวประกอบกำลังในระบบไฟฟ้านั้น จะทำให้เกิดปัญหของภาร์มอนิกอันดับที่ 5 เป็นภาร์มอนิกอันดับต่ำสุดที่พิจารณา ดังนั้นจึงเป็นอันดับภาร์มอนิกที่ต่ำที่สุดที่อาจมีผลต่อภาร์มอนิกเรโซแนนซ์ได้ แนวทางในการแก้ไขปัญหานี้ คือ ทำการเปลี่ยนแปลงค่าปารามิเตอร์ที่ติดตั้ง โดยเพิ่มอินดักทีฟ(L) หรือความต้านทาน(R) อนุกรมเข้ากับค่าปารามิเตอร์ดังกล่าว แล้วปรับจูนไปยังภาร์มอนิกอันดับที่ 5 ภายใต้ลักษณะเช่นนี้ วงจรอนุกรมระหว่างค่าปารามิเตอร์กับอินดักทีฟ จะทำให้เกิดค่าอิมพีเดนซ์ต่ำ (low impedance) สำหรับภาร์มอนิกอันดับที่ 5 ดังนั้นกระแสภาร์มอนิกอันดับที่ 5 จะไหลผ่านวงจรกรองนี้ แทนที่จะไหลไปยังส่วนอื่น ๆ ของวงจร โดยลักษณะของวงจรกรองดีจูน การต่อเขื่อมกับระบบ และ วงจรเทียบเท่าในการต่อเขื่อมกับระบบ แสดงดังรูปที่ 2.7, 2.8 และ 2.9 ตามลำดับ



รูปที่ 2.7 ตัวอย่างวงจรกรองดีจูน



รูปที่ 2.9 วงจรเทียบเท่าของระบบในรูปที่ 2.8

โดยที่  $I_h$  คือ อัมพ์แคนช์เวนิเนอร์มอนิก

$I_{hs}$  และ  $I_{hF}$  คือ กระแสเสาร์มอนิกที่ไฟลสูรระบบและวงจรกรองดีจูน ตามลำดับ

$Z_h$  คือ อัมพ์แคนช์เวนิเนอร์มอนิกอันดับที่  $h$

$V_h$  คือ แรงดันเสาร์มอนิกที่ต่อกลับ  $Z_h$

$R_s$  และ  $X_s$  คือ ความต้านทานและรีแอกเแตนซ์ของระบบ

$R_{Fh}$ ,  $X_{FLh}$  และ  $X_{FCh}$  คือ ความต้านทาน รีแอกเแตนซ์ของตัวเหนี่ยวนำ และ รีแอกเแตนซ์ของคาปิซิเตอร์ ตามลำดับ ที่เสาร์มอนิกที่  $h$

จากรูปที่ 2.9  $Z_h$  มีค่าดังสมการที่ (2.21)

$$Z_h = \frac{(R_s + jX_s)(R_{Fh} + j(X_{FLh} - X_{FCh}))}{(R_s + R_{Fh}) + j(X_s + (X_{FLh} - X_{FCh}))} \quad (2.21)$$

จากสมการที่ (2.21) พบว่า มีค่าความถี่อยู่ 2 ค่า คือ

1.  $f_{rs}$  เป็นค่าความถี่ที่ทำให้เกิดสภาพแพร่โซแนนซ์อนุกรมระหว่าง  $X_{FLh}$  กับ  $X_{FCh}$   
โดยที่ความถี่เรโซแนนซ์อนุกรมมีค่าดังนี้

$$f_{rs} = \frac{1}{2\pi\sqrt{L_F C_F}} \quad (2.22)$$

ณ จุดนี้ทำให้ค่าของอิมพีเดนซ์รวม ( $Z_h$ ) มีค่าเป็น

$$Z_h = \frac{(R_s + jX_s)R_{Fh}}{(R_s + R_{Fh}) + jX_s} \approx R_{Fh} \quad (2.23)$$

ทำให้กระแสาร์มอนิกที่ความถี่  $f_{rs}$  นี้ ไฟลเข้าสู่วงจรอนุกรม RLC เกือบทั้งหมด โดยไฟลเข้าระบบไฟฟ้าเพียงเล็กน้อยเท่านั้น

2.  $f_{rp}$  เป็นค่าความถี่ที่ทำให้เกิดสภาพแพร่โซแนนซ์ขนาดนานระหว่าง  $X_s$  กับ  $(X_{FLh} - X_{FCh})$   
โดยที่ความถี่เรโซแนนซ์ขนาดนานมีค่าดังนี้

$$f_{rp} = \frac{1}{2\pi\sqrt{(L_s + L_F)C_F}} \quad (2.24)$$

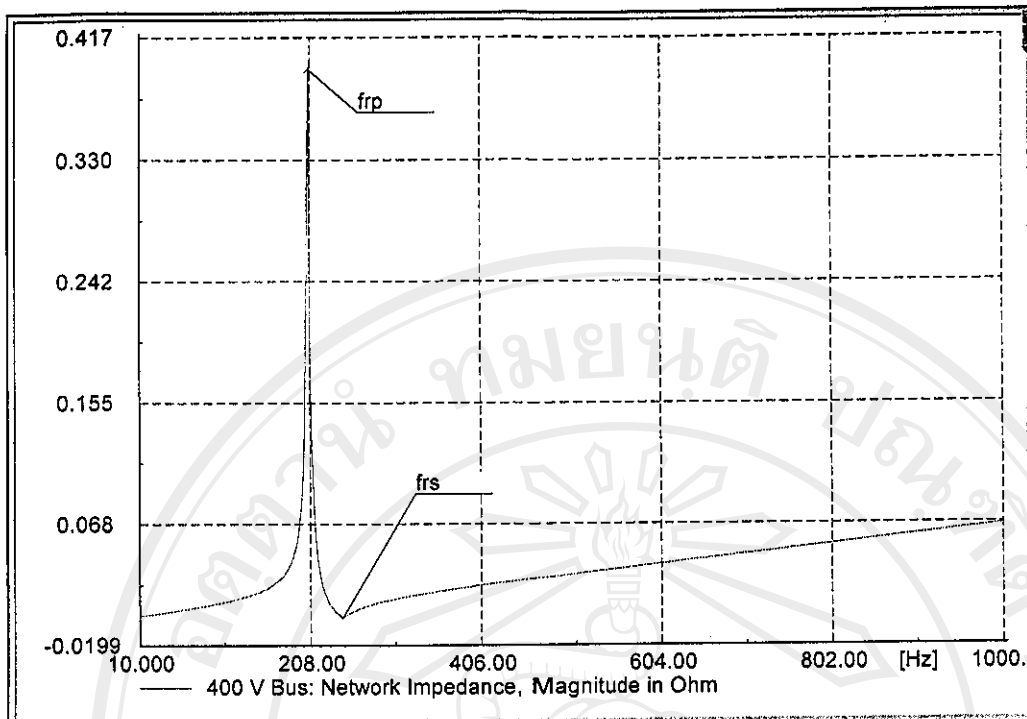
ณ จุดนี้ทำให้ค่าของอิมพีเดนซ์รวม ( $Z_h$ ) มีค่าเป็น

$$Z_h = \frac{(R_s + jX_s)(R_{Fh} - jX_{Fh})}{(R_s + R_{Fh})} \quad (2.25)$$

กระแสที่ไฟลเข้าสู่วงจรกรอง ( $I_{hf}$ ) จะมีค่าสูง เนื่องจากเกิดการขยายกระแสจากผลของ  
สภาพแพร่โซแนนซ์ขนาดดังกล่าว      เนื่องจากค่าความถี่เรโซแนนซ์ขนาดนานมีค่าน้อยกว่าค่าความถี่  
เรโซแนนซ์อนุกรม

$$f_{rp} = \frac{1}{2\pi\sqrt{(L_s + L_F)C_F}} < f_{rs} = \frac{1}{2\pi\sqrt{L_F C_F}} \quad (2.26)$$

ดังรูปที่ 2.10 แสดงค่าความถี่เรโซแนนซ์ขนาดนานและอนุกรม ในกราฟอิมพีเดนซ์รวมของ  
ระบบเทียบกับความถี่



รูปที่ 2.10 ตัวอย่างผลตอบสนองของระบบเมื่อติดตั้งวงจรกรองคู่จูน

จากรูปที่ 2.10 พบว่า หากกำหนดให้ความถี่เรโซแนนซ์อนุกรม ( $f_{rs}$ ) มีค่าต่ำกว่าความถี่ชาร์มอนิกต่ำสุดที่ปรากฏในระบบไฟฟ้า เช่นความถี่ชาร์มอนิกที่ต่ำที่สุดในระบบเป็น 250 เฮิรตซ์ (หรือชาร์มอนิกที่ 5) ทำการปรับค่า  $f_{rs}$  ให้ต่ำกว่าชาร์มอนิกอันดับที่ 5 เพื่อป้องกันการเกิดปัญหาจากสภาวะเรโซแนนซ์บนงานในระบบไฟฟ้าได้ ทำให้มาปั๊ซิเตอร์ไม่ได้รับความเสียหายจากการแสวงชาร์มอนิก ยกตัวอย่างเช่น ปรับค่าของ  $f_{rs}$  ไปที่ 245 เฮิรตซ์ (คิดเป็น 4.9 เท่าของ 50 เฮิรตซ์)

## 2.9 โปรแกรม DIgSILENT PowerFactory (Version 13.0.22)

DIgSILENT (Digital SimuLator for Electrical NeTwork) เป็นโปรแกรมที่ใช้ในการวิเคราะห์ระบบไฟฟ้ากำลังซึ่งเริ่มต้นพัฒนาใช้งานตั้งแต่ปี ค.ศ. 1976 และถูกนำไปใช้งานทั่วโลกในด้านวางแผน การปฏิบัติงาน ตลอดจนการบำรุงรักษาระบบไฟฟ้ากำลังซึ่งสามารถสร้างแบบจำลองด้วยภาพหรือทำการป้อนข้อมูลผ่านไฟล์อักษร (Text file) ตลอดจนสามารถวิเคราะห์ระบบผลิตระบบส่ง ระบบจำหน่ายไฟฟ้ารวมทั้งระบบไฟฟ้าอุตสาหกรรม

ในส่วนของการวิเคราะห์ชาร์มอนิกด้วยโปรแกรม DIgSILENT PowerFactory นั้น สามารถใช้วิเคราะห์ระบบไฟฟ้ากำลังได้โดยอาศัย 2 ฟังก์ชันหลักได้แก่

### 1. การวิเคราะห์การไฟล์ของชาร์มอนิก (Harmonic load flow analysis)

โปรแกรมมีความสามารถในการคำนวณแรงดันและกระแสชาร์มอนิกที่บัสต่างๆ ในระบบไฟฟ้าได้โดยสามารถสร้างแบบจำลองและกำหนดค่าของแรงดันชาร์มอนิกหรือ

แหล่งกำเนิดกระแส โดยที่สามารถกำหนดตำแหน่งของแหล่งกำเนิดชาร์มอนิกในจุดต่าง ๆ ของระบบได้

2. การวิเคราะห์ด้วยการสแกนความถี่ (Frequency scan analysis)

สามารถทำการวิเคราะห์อย่างต่อเนื่องในโคล เมนความถี่ได้ เพื่อวิเคราะห์อิมพีเดนซ์ ของวงจรตลอดจนจุดที่เกิดเรโซแนนซ์ของวงจรได้

นอกจากนี้ยังสามารถวิเคราะห์ได้ทั้งชาร์มอนิกที่ไม่เป็นจำนวนเต็ม (inter-harmonic) หรือ แหล่งกำเนิดชาร์มอนิกแบบไม่สมดุล (Unbalanced harmonic source) ได้อีกด้วย



ลิขสิทธิ์มหาวิทยาลัยเชียงใหม่  
Copyright © by Chiang Mai University  
All rights reserved

### บทที่ 3

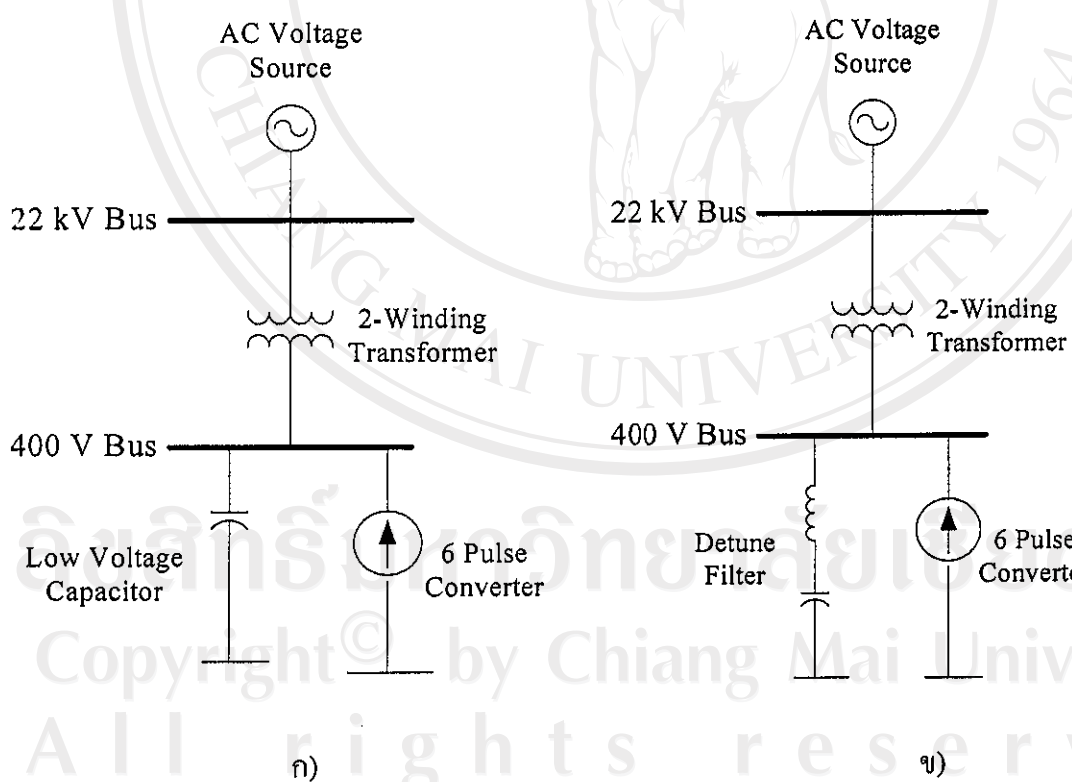
#### แบบจำลองที่ใช้ในการศึกษา

##### 3.1 แบบจำลองของระบบและอุปกรณ์ต่างๆ

แบบจำลองที่เกี่ยวข้องในการศึกษาปรากฏการณ์ harmonic resonance ได้แก่ แบบจำลองของ

1. แหล่งจ่ายแรงดันไฟฟ้า (Voltage Source)
2. หม้อแปลงไฟฟ้า (Transformer)
3. ภาระไฟฟ้าที่ไม่เป็นเชิงเส้น (Non-Linear Load)
4. คากาซิเตอร์ (Capacitor Bank)
5. วงจรกรองคีจูน (Detune Filter)

โดยมีลักษณะการเชื่อมต่อของระบบ (System Configuration) ดังรูปที่ 3.1

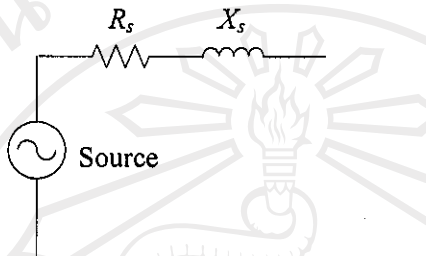


รูปที่ 3.1 การเชื่อมต่อของระบบที่ใช้ในการศึกษาปรากฏการณ์ harmónic resonance  
ก) กรณีติดตั้งคากาซิเตอร์ ข) กรณีติดตั้งวงจรกรองคีจูน

โดยมีรายละเอียดของแบบจำลองต่าง ๆ ดังนี้

### 3.1.1 แหล่งจ่ายแรงดันไฟฟ้า (AC Voltage Source)

แหล่งจ่ายแรงดันไฟฟ้ากระแสสลับที่ต่อเข้ากับระบบ แทนด้วยแหล่งจ่ายแรงดันสมมูลเทวินิน ต่ออนุกรมกับค่าอิมพีเดนซ์ของแหล่งจ่ายซึ่งประกอบด้วยค่าความต้านทาน ลำดับวงและค่ารีแอกเคนซ์ลำดับวงกตต่ออนุกรมกัน ดังรูปที่ 3.2 โดยที่อิมพีเดนซ์สมมูลนี้เป็นอิมพีเดนซ์สมมูลที่ม่องข้อนกลับไปยังระบบ สำหรับการแทนส่วนที่เหลือของวงจรข่าย คำนวณได้โดยใช้หลักการของอิมพีเดนซ์สมมูลลักษณะ (Short circuit equivalent impedance)



รูปที่ 3.2 แบบจำลองอิมพีเดนซ์ของแหล่งจ่ายแรงดันสมมูล

โดยหากาอิมพีเดนซ์ของแหล่งจ่ายแรงดันสมมูลได้จาก

$$Z_s = \frac{kV^2}{MVA_{sc}} \quad (3.1)$$

$$R_s = \frac{Z_s}{\sqrt{(X/R)^2 + 1}} \quad (3.2)$$

$$X_s = (X / R) \times R_s \quad (3.3)$$

โดยที่  $Z_s$  คือ อิมพีเดนซ์ของแหล่งจ่ายแรงดันสมมูล

$MVA_{sc}$  คือ ค่า Short circuit capacity

$kV$  ค่าระดับแรงดันของระบบ (กิโลโวลต์)

$R_s$  ค่าความต้านทานของแหล่งจ่ายแรงดันสมมูล

$X_s$  ค่ารีแอกเคนซ์ของแหล่งจ่ายแรงดันสมมูล

$X / R$  ค่าอัตราส่วนลักษณะของรีแอกเคนซ์ต่อความต้านทาน (Short circuit ratio)

ในการคำนวณหากาอิมพีเดนซ์ของแหล่งจ่ายแรงดันสมมูล ต้องใช้ข้อมูลระดับแรงดัน ค่าพิกัดกำลังไฟฟ้าลักษณะของระบบจำหน่าย และ อัตราส่วนลักษณะของรีแอกเคนซ์ต่อความต้านทาน

สำหรับข้อมูลแหล่งจ่ายแรงดันไฟฟ้าที่นำมาใช้ในการศึกษานี้ ใช้ข้อมูลของสถานีไฟฟ้าข้อบัญญ 2 ของการไฟฟ้าส่วนภูมิภาค ซึ่งมีรายละเอียดดังตารางที่ 3.1

### ตารางที่ 3.1 ข้อมูลแหล่งจ่ายไฟสถานีไฟฟ้าคำพูน 2

พารามิเตอร์	ข้อมูล
แรงดันไฟฟ้า [kV]	22
ค่ากระแสสัมภาระ 3 เฟส [A]	8,458.4
พิกัดกำลังไฟฟ้าสัมภาระ [MVA]	322.3
อัตราส่วนลักษณะของรีแอกแตนซ์ต่อความต้านทาน [X/R ratio]	7.2506

#### 3.1.2 หม้อแปลงไฟฟ้า (Transformer)

แบบจำลองของหม้อแปลงไฟฟ้าที่พิจารณาแทนด้วยอิมพีเดนซ์ลำดับวง ดังรูปที่ 3.3



รูปที่ 3.3 แบบจำลองอิมพีเดนซ์ของหม้อแปลง

โดยหาค่าอิมพีเดนซ์ที่ความถี่หลักนุ่มได้จาก

$$Z_T = \frac{\% Z}{100} \times \frac{kV_{rated}^2}{MVA_{rated}} \quad (3.4)$$

$$R_T = \frac{kW_{loss} \times 10^3 (kV \times 10^3)^2}{(MVA_{rated} \times 10^6)^2} \quad (3.5)$$

$$X_T = \sqrt{Z_T^2 - R_T^2} \quad (3.6)$$

เมื่อ

$Z_T$  คือ อิมพีเดนซ์ของหม้อแปลง

$R_T$  คือ ค่าความต้านทานของหม้อแปลง

$X_T$  คือ ค่ารีแอกแตนซ์ของหม้อแปลง

$\% Z$  ค่าเบอร์เซ็นต์อิมพีเดนซ์ของหม้อแปลง

$kV_{rated}$  ค่า พิกัดแรงดันไฟฟ้าของหม้อแปลง

$MVA_{rated}$  ค่า พิกัดกำลังไฟฟ้าของหม้อแปลง

$kW_{loss}$  ค่ากำลังไฟฟ้าสูญเสียของหม้อแปลง

หม้อแปลงที่ใช้ในการศึกษาเป็นหม้อแปลงแบบ 2 ขดลวดมีการเชื่อมต่อของขดลวดปฐมภูมิและทุติยภูมิเป็นแบบเดลตา-วาย และมีการต่อลงดินทางด้านทุติยภูมิของหม้อแปลง

โดยมีค่าเบอร์เซ็นต์อัมพิเดนซ์และกำลังสูญเสียซึ่งข้างต้นมาตราฐานกำลังสูญเสียในหม้อแปลงของการไฟฟ้าส่วนภูมิภาค ดังตารางที่ 3.2

ตารางที่ 3.2 มาตราฐานกำลังสูญเสียของหม้อแปลง 3 เฟส (22 กิกโวลต์) ของการไฟฟ้าส่วนภูมิภาค

ขนาดหม้อแปลง [kVA]	%Z	No-Load Loss[W]	Load Loss[W]
100	4	350	1,750
160	4	500	2,350
250	4	700	3,250
315	4	850	3,900
400	4	1,000	4,600
500	4	1,200	5,500
630	4	1,400	6,500
800	6	1,700	11,000
1000	6	2,000	13,500
1500	6	2,850	19,800
2000	6	3,300	24,000

### 3.3.3 การะไฟฟ้าที่ไม่เป็นเชิงเส้น (Non-linear load)

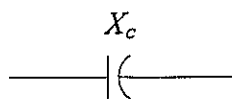
ในการศึกษานี้ การะไฟฟ้าที่ไม่เป็นเชิงเส้นซึ่งต่อเขื่อมกับระบบ คือ คอนเวอร์เตอร์ชนิด 6 พัลส์ มีตัวประกอบกำลังเท่ากับ 0.8 ซึ่งจ่ายกระแส harmonic อนิกอันดับต่าง ๆ ดังตารางที่ 3.3

ตารางที่ 3.3 การจ่ายกระแส harmonic ของคอนเวอร์เตอร์ชนิด 6 พัลส์ ที่ใช้ในการศึกษา

าร์มอนิกอันดับที่	กระแส harmonic [%]
1	100
5	20
7	12
11	8
13	7
17	4.5
19	4
23	3
25	3

### 3.1.4 ค่าปานิชเตอร์

แบบจำลองของค่าปานิชเตอร์แทนด้วยอิมพีเดนซ์ ดังรูปที่ 3.4



รูปที่ 3.4 แบบจำลองอิมพีเดนซ์ของค่าปานิชเตอร์

โดยหาค่ารีแอคแทนซ์ที่ความถี่หลักมูลได้จาก

$$X_c = \frac{(kV_{rated} \times 10^3)^2}{kVAR \times 10^3} \quad (3.7)$$

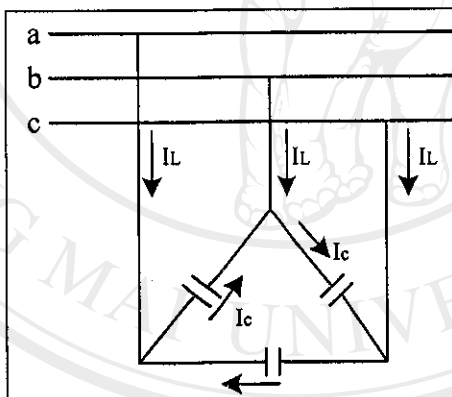
เมื่อ

$X_c$  คือ ค่ารีแอคแทนซ์ของค่าปานิชเตอร์

$kV_{rated}$  คือ ค่าพิกัดแรงดันไฟฟ้าของค่าปานิชเตอร์

$kVAR$  คือ ค่ากำลังไฟฟ้ารีแอคทีฟของค่าปานิชเตอร์

ในการคำนวณหาค่าค่าปานิชแทนซ์ของค่าปานิชเตอร์แต่ละชุด ในการศึกษานี้ เมื่อพิจารณา การติดตั้งค่าปานิชเตอร์ขนาด 30 % ของพิกัดหม้อแปลง โดยที่ค่าปานิชเตอร์มีการเชื่อมต่อแบบเดลตา ทางด้านทุกภูมิของหม้อแปลง โดยทำการคำนวณหาค่าค่าปานิชแทนซ์ของค่าปานิชเตอร์แต่ละชุดนั้น เป็นไปดังตัวอย่างต่อไปนี้ หม้อแปลงขนาด 500 kVA ค่าปานิชเตอร์ขนาด 30% (150 kVAR)



รูปที่ 3.5 ค่าปานิชเตอร์เชื่อมต่อแบบเดลตา ทางด้านทุกภูมิของหม้อแปลง

คำนวณกระแสที่โหลด ( $I_L$ )

$$I_L = \frac{Q_c}{\sqrt{3} \times V_{L-L}} = \frac{150 \times 10^3}{\sqrt{3} \times 400} = 216.506 \text{ A.} \quad (3.8)$$

ดังนั้น

$$I_c = \frac{I_L}{\sqrt{3}} = \frac{216.506}{\sqrt{3}} = 125 \text{ A.} \quad (3.9)$$

จะได้ค่ารีแอคแทนซ์ของค่าปานิชเตอร์แต่ละชุด ( $X_C$ ) มีค่าเป็น

$$X_C = \frac{V_{L-L}}{I_c} = \frac{400}{125} = 3.2 \Omega \quad (3.10)$$

ดังนั้น ค่าค่าปานิชแทนซ์ของค่าปานิชเตอร์แต่ละชุด จะมีขนาดเป็น

$$C = \frac{10^6}{\omega \times X_C} = \frac{10^6}{2\pi \times 50 \times 3.2} = 994.718 \mu F \quad (3.11)$$

ดังนั้นจึงได้ค่าค่าปานิชณ์ของคาปานิเตอร์ที่ติดตั้งขนาดเท่ากับ 30% ของกำลัง(kVA)

หน้าแปลงขนาดต่าง ๆ ดังตารางที่ 3.4

ตารางที่ 3.4 ขนาดของคาปานิเตอร์( $\mu F$ ) ที่มีค่าเป็น 30% ของพิกัดหน้าแปลงขนาดต่าง ๆ

ขนาด หน้าแปลง [kVA]	ขนาดคาปานิเตอร์ [kVAR]	$I_L [A]$	$I_c [A]$	$X_c [\Omega]$	$C [\mu F]$
100	30	43.30	25	16.00	198.864
160	48	69.28	40	10.00	318.182
250	75	108.25	62.5	6.40	497.159
315	95	137.12	79.2	5.05	629.735
400	120	173.21	100	4.00	795.455
500	150	216.51	125	3.20	994.318
630	189	272.80	157.5	2.54	1,252.841
800	240	346.41	200	2.00	1,590.909
1000	300	433.01	250	1.60	1,988.64
1500	450	649.52	375	1.07	2,982.955
2000	600	866.03	500	0.80	3,977.273

โดยที่คาปานิเตอร์แต่ละหน่วยย่ออยู่ในราคามาตรฐานพัสดุ(การไฟฟ้าส่วนภูมิภาค) ดังตารางที่ 3.5 (อ้างอิงจากราคามาตรฐานประจำวันที่ 1 ต.ค. 46 – 31 มี.ค. 47)

ตารางที่ 3.5 ราคามาตรฐานคาปานิเตอร์แต่ละหน่วยย่อ

ขนาดคาปานิเตอร์ [kVAR]	ราคาต่อหน่วย [บาท]
10	1,294
20	1,818
45	3,796
75	6,060

ดังนั้น สำหรับหน้าแปลงแต่ละขนาดที่ติดตั้งคาปานิเตอร์ขนาด 30% ของพิกัดหน้าแปลง สามารถแสดงค่าใช้จ่ายทั้งหมดของการติดตั้งคาปานิเตอร์ (ซึ่งรวมค่าแรง, ค่าควบคุมงาน, ค่าขนส่ง, ค่าเบ็ดเตล็ดและค่าดำเนินการ) ได้ดังตารางที่ 3.6

ตารางที่ 3.6 ข้อมูลค่าใช้จ่ายทั้งหมดในการติดตั้งค่าปาชิเตอร์สำหรับหน้าแปลงแต่ละขนาด

ขนาดหน้าแปลง [kVA]	ขนาดค่าปาชิเตอร์ ที่ติดตั้ง [kVAR]	จำนวนที่ใช้				ราคา [บาท]
		10 kVAR	20 kVAR	45 kVAR	75 kVAR	
100	30	1	1	0	0	3,112
160	50	1	2	0	0	4,930
250	75	1	1	1	0	6,908
315	95	1	2	1	0	8,726
400	120	1	1	2	0	10,704
500	150	0	3	2	0	13,046
630	190	0	2	0	2	15,756
800	240	0	0	2	2	19,712
1000	300	0	0	0	4	24,240
1500	450	0	0	0	6	36,360
2000	600	0	0	0	8	48,480

### 3.1.5 วงจรกรองดีจูน

วงจรกรองดีจูนที่ใช้ในการจำลอง ดัดแปลงจากค่าปาชิเตอร์ขนาด 30 % ของหน้าแปลง (600 กิโลวัตต์) โดยเพิ่มค่าอินดักทีฟรีแอกแทนซ์ขนาด 7% ของค่าปาชิทีฟรีแอกแทนซ์เข้าไป โดยมีลักษณะการเชื่อมต่อดังรูปที่ 3.6 สำหรับรีแอกแทนซ์ที่นำมาใช้ในวงจรกรองดีจูน มีราคาดังตารางที่ 3.7



รูปที่ 3.6 แบบจำลองของวงจรกรองดีจูนที่ใช้ในการจำลอง

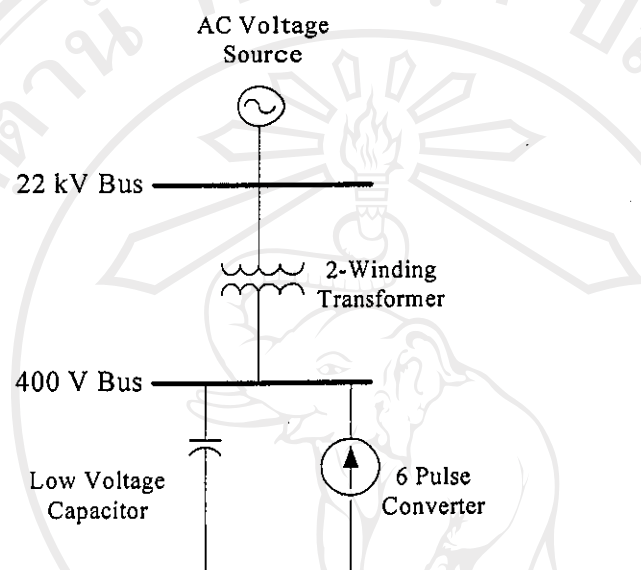
ตารางที่ 3.7 ราคาของรีแอกแทนซ์

ติดตั้งกับค่าปาชิเตอร์ขนาด	ราคา [บาท]
25 kVAR	15,000
50 kVAR	19,000
100 kVAR	43,000

### 3.2 ตัวอย่างการวิเคราะห์อาร์มอนิกาเรโซแนนซ์

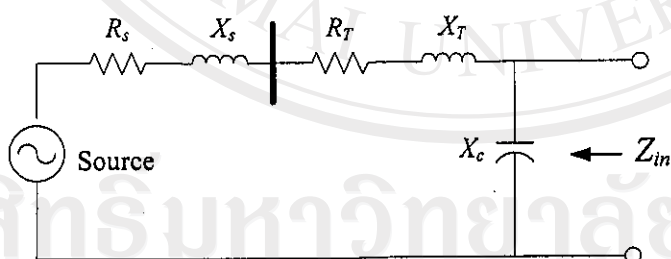
#### 3.2.1 กรณีติดตั้งค่าปาซิเตอร์ขนาดเท่ากับ 30% ของพิกัดหม้อแปลง

ระบบไฟฟ้าที่พิจารณาเป็นระบบที่รับไฟจากสถานีไฟฟ้าลำพูน 2 มีค่ากระแสสัตดงจร 3 เพสทางค้าน 22 กิโลโวัตต์ เท่ากับ 8,458.4 แอมป์ จ่ายไฟให้กับหม้อแปลงไฟฟ้านำ 2.0 MVA มีภาระไฟฟ้าเป็นคอนเวอร์เตอร์ชนิด 6 พลัตส์ขนาด 1000 กิโลวัตต์ที่ค่าตัวประกอบกำลัง 0.8 และติดตั้งค่าปาซิเตอร์ขนาด 600 kVAR (30% ของขนาดพิกัดหม้อแปลง) ดังรูปที่ 3.7



รูปที่ 3.7 ระบบที่พิจารณาติดตั้งเฉพะค่าปาซิเตอร์

จากรูปที่ 3.7 สามารถเขียนเป็นวงจรเทียบท่าได้ดังรูปที่ 3.8



รูปที่ 3.8 วงจรเทียบท่าของระบบไฟฟ้าในรูปที่ 3.7

จากรูปที่ 3.8 ทำการคำนวณค่าพารามิเตอร์ต่าง ๆ ดังนี้

พิจารณาที่สถานีไฟฟ้าลำพูน 2 มีค่าพิกัดกำลังไฟฟ้าสัตดง 322.3 MVA และมีอัตราส่วนลัดดองของรีแอคแทนซ์ต่อความต้านทานเท่ากับ 7.2506 ดังนั้นสามารถหาค่าของอิมพีเดนซ์แหล่งจ่ายแรงดันสมมูลได้ ดังนี้

$$Z_s = \frac{kV^2}{MVA_{SC}} = \frac{(22 \times 10^3)^2}{322.3} = 1.5017 \Omega$$

$$R_s = \frac{Z_s}{\sqrt{(X/R)^2 + 1}} = \frac{1.5017}{\sqrt{1 + 7.2506^2}} = 0.20517 \Omega$$

$$X_s = (X / R) \times R_s = 7.2506 \times 0.20517 = 1.4876 \Omega$$

แปลงค่าความต้านทานและค่ารีแอกเคนซ์ไปเป็นค่าทางด้านแรงดันต่ำของหม้อแปลง  
จะได้ว่า

$$R_s' = \frac{R_s}{a^2} = \frac{0.20517}{(22 / 0.4)^2} = 0.0000678 \Omega$$

$$X_s' = \frac{X_s}{a^2} = \frac{1.4876}{(22 / 0.4)^2} = 0.000491 \Omega$$

โดยที่  $a$  คือ อัตราส่วนระหว่างแรงดันด้านปฐมภูมิต่อแรงดันด้านทุติยภูมิของหม้อแปลง

$R_s'$  คือ ค่าความต้านทานของแหล่งจ่ายทางด้านแรงดันต่ำของหม้อแปลง

$X_s'$  คือ ค่ารีแอกเคนซ์ของแหล่งจ่ายทางด้านแรงดันต่ำของหม้อแปลง

พิจารณาหม้อแปลงขนาด 2000 kVA มีค่าเบอร์เซ็นต์อินเพคเคนซ์ของหม้อแปลงเท่ากับ 6%  
มีค่ากำลังไฟฟ้าสูญเสียขณะไม่จ่ายกระแสไฟฟ้า (No load loss)  
และค่ากำลังไฟฟ้าสูญเสียขณะจ่ายกระแสไฟฟ้า (Load loss)  
เท่ากับ 3.3 กิโลวัตต์ และ 24 กิโลวัตต์ ตามลำดับ

$$Z_T = \frac{6}{100} \times \frac{22^2}{2} = 14.52 \Omega$$

$$R_T = \frac{[3.3 + 24] \times 10^3 \times (0.4 \times 10^3)^2}{(2 \times 10^6)^2} = 3.3033 \Omega$$

$$X_T = \sqrt{14.52^2 - 3.3033^2} = 14.139 \Omega$$

แปลงค่าความต้านทานและค่ารีแอกเคนซ์ไปเป็นค่าทางด้านแรงดันต่ำของหม้อแปลง  
จะได้ว่า

$$R_T' = \frac{R_T}{a^2} = \frac{3.3033}{(22 / 0.4)^2} = 0.001092 \Omega$$

$$X_T' = \frac{X_T}{a^2} = \frac{14.139}{(22 / 0.4)^2} = 0.004674 \Omega$$

โดยที่  $R_T'$  คือ ค่าความต้านทานทางด้านแรงดันต่ำของหม้อแปลง

$X_T'$  คือ ค่ารีแอกเคนซ์ทางด้านแรงดันต่ำของหม้อแปลง

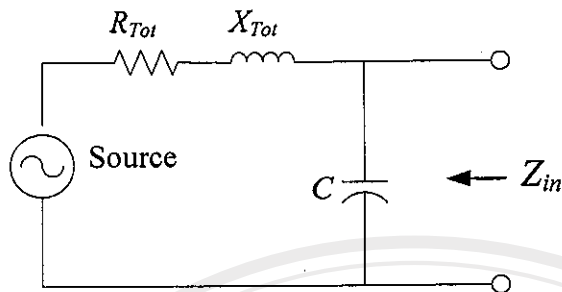
พิจารณาค่าปาซิเตอร์ขนาด 600 kVAR จะได้ว่า

$$X_c = \frac{(0.4 \times 10^3)^2}{600 \times 1000} = 0.2667 \Omega$$

และหากาค่า ค่าปาซิเตเคนซ์ ( $C$ ) ของค่าปาซิเตอร์ได้จาก

$$C = \frac{1}{\omega \times X_c} = \frac{1}{2\pi \times 50 \times 0.2667} = 0.011935 F.$$

สามารถเขียนวงจรเทียบเท่าใหม่ได้ดังรูปที่ 3.9



รูปที่ 3.9 วงจรเทียบท่าใหม่จากรูปที่ 3.8

โดยที่  $R_{Tot}$  คือ ค่าความต้านทานรวมระหว่างแหล่งจ่ายไฟกับหม้อแปลงทางด้านแรงดันต่อ  
 $X_{Tot}$  คือ ค่ารีแอกเคนซ์รวมระหว่างแหล่งจ่ายไฟกับหม้อแปลงทางด้านแรงดันต่อ  
 ดังนั้น

$$R_{Tot} = R_s + R_T = 0.000067 + 0.001092 = 0.001159 \Omega$$

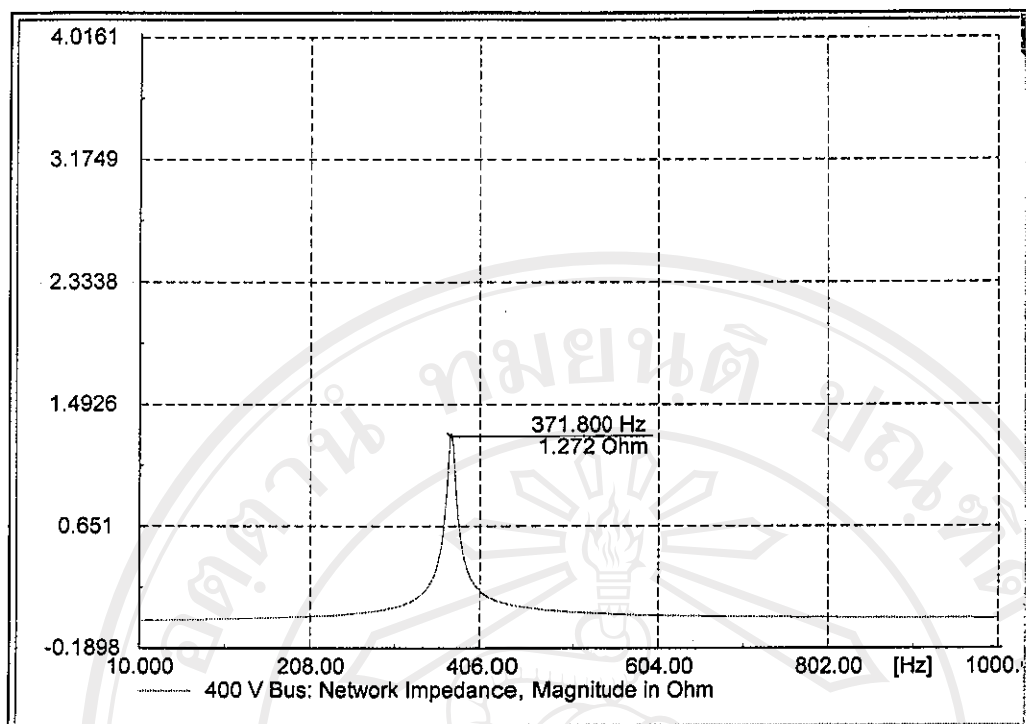
$$X_{Tot} = X_s + X_T = 0.000491 + 0.004674 = 0.005165 \Omega$$

$$L_{Tot} = \frac{X_{Tot}}{2\pi f} = \frac{0.005165}{2\pi \times 50} = 0.00001644 H$$

จากรูปที่ 3.9 สภาวะเรโซแนนซ์นานจะเกิดขึ้นเมื่อค่ารีแอกเคนซ์ของอินดักเต้นซ์รวมมีค่าเท่ากับค่ารีแอกเคนซ์ของคาปิซิเตอร์ ดังนั้นสามารถหาค่าความถี่เรโซแนนซ์ได้จาก

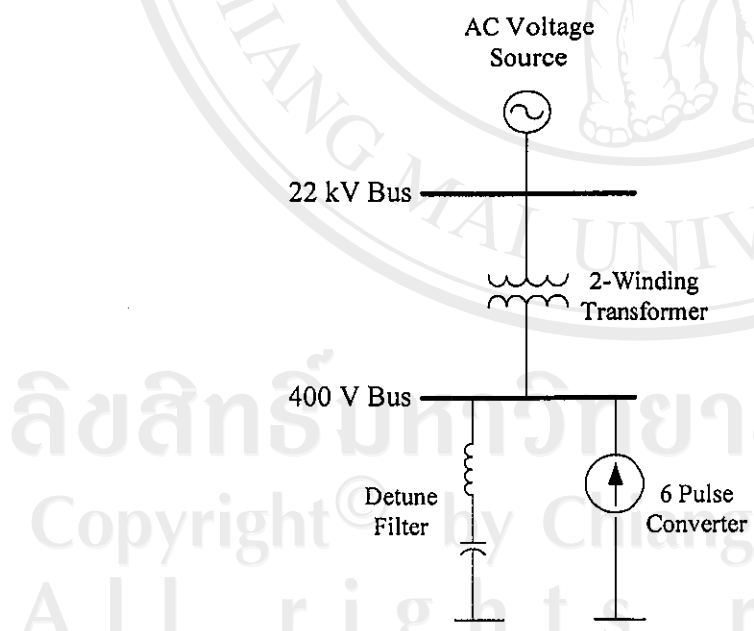
$$\begin{aligned} f &= \frac{1}{2\pi\sqrt{L_{Tot}C}} \\ &= \frac{1}{2\pi\sqrt{0.00001644 \times 0.011935}} \\ &= 359.3 \text{ Hz.} \end{aligned}$$

จากค่าความถี่เรโซแนนซ์ดังกล่าว ตรงกับชาร์มอนิกอันดับที่ 7.18 ซึ่งจะทำให้เกิดสภาวะเรโซแนนซ์นานขึ้นได้ และจากการจำลองโดยใช้โปรแกรม DIGSILENT PowerFactory โดยใช้ค่าพารามิเตอร์เดียวกัน จะได้กราฟของอิมพิడेनซ์กับความถี่ดังรูปที่ 3.10 โดยในแกนนอนเป็นแกนของความถี่และแกนตั้งเป็นขนาดของอิมพิడेनซ์ พบร่วมความถี่ที่เกิดเรโซแนนซ์ที่ได้จากการจำลองคือ 371.4 Hz. ตรงกับอันดับชาร์มอนิกที่ 7.4

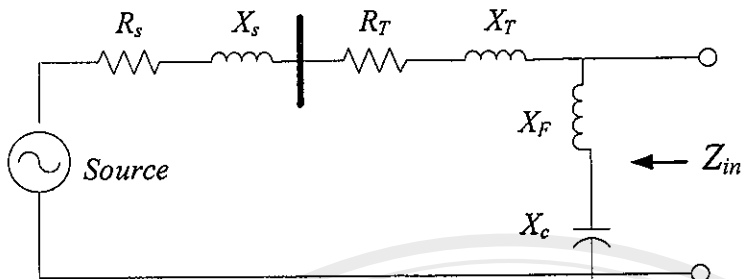


รูปที่ 3.10 ความสัมพันธ์ระหว่างความถี่กับอิมพีเดนซ์ของระบบ

### 3.2.2 กรณีติดตั้งวงจรกรองดิจุน



รูปที่ 3.11 ระบบที่พิจารณาติดตั้งวงจรกรองดิจุน



รูปที่ 3.12 วงจรเทียบเท่าของระบบในรูปที่ 3.11

ทำการติดตั้งรีแอกเตอร์กับค่าปานิชเตอร์ในแต่ละเฟส ของค่าปานิชเตอร์ขนาด 600 kVAR จากตารางที่ 3.4 จะได้ว่า  $X_C = 0.8 \Omega$  และมีค่า  $C = 3977.373 \mu F$

ใช้รีแอกเตอร์ขนาด 7% ติดตั้งกับค่าปานิชเตอร์เป็นวงจรกรองดีจูน ดังนั้นค่าอินดักทิฟรีแอกเตอร์และอินดักแทนซ์ของวงจรกรองมีขนาดเท่ากับ

$$X_L = \frac{7}{100} \times 0.8 = 0.056 \Omega$$

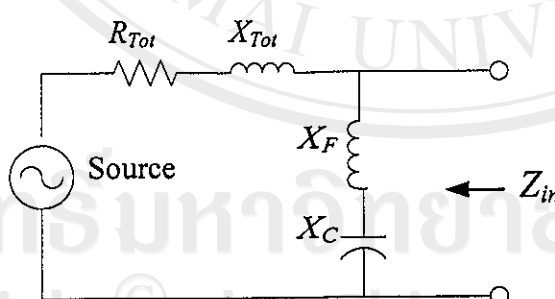
$$L_f = \frac{X_L}{2\pi f} = \frac{0.056}{2\pi \times 50} = 0.0001783 H$$

หาค่าความถี่เรโซแนนซ์อนุกรม ( $f_{rs}$ ) และความถี่เรโซแนนซ์ข้าง ( $f_{rp}$ ) ของวงจรกรอง

$$f_{rs} = \frac{1}{2\pi\sqrt{L_f C}} = \frac{1}{2\pi\sqrt{0.0001783 \times 0.003977373}} = 188.99 Hz.$$

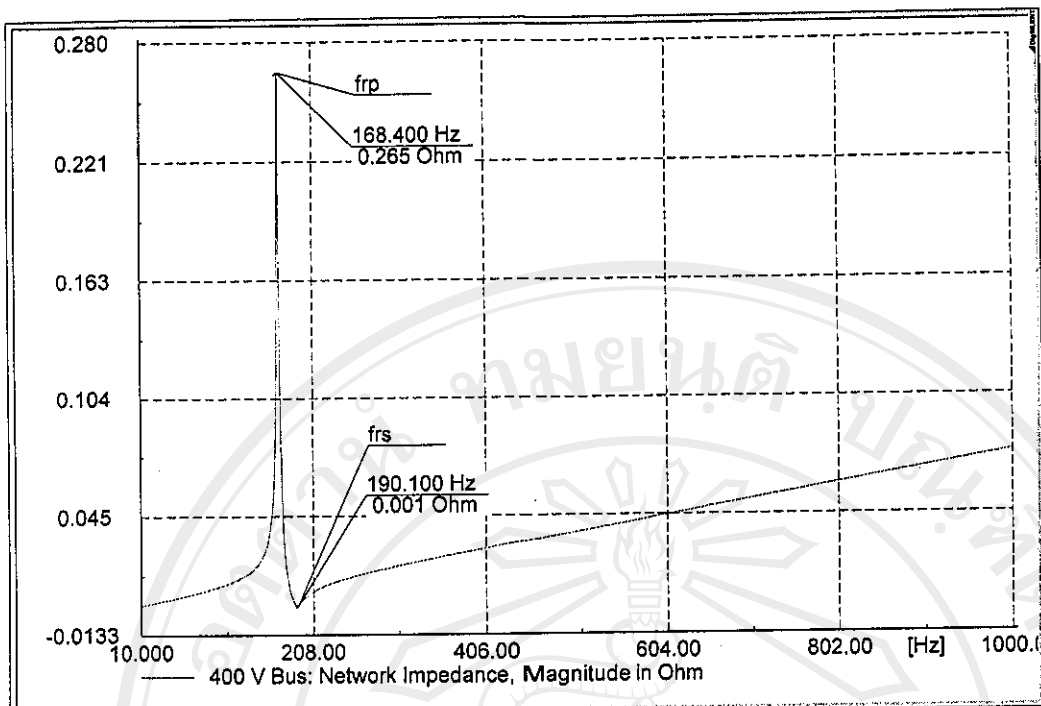
$$f_{rp} = \frac{1}{2\pi\sqrt{(L_f + L_{tot})C}} = \frac{1}{2\pi\sqrt{(0.0001783 + 0.00001644) \times 0.003977373}} = 180.83 Hz.$$

ดีจูนได้จาก



รูปที่ 3.13 วงจรเทียบเท่าใหม่จากรูปที่ 3.12

เมื่อเปรียบเทียบผลการคำนวณและการจำลองพบว่า ความถี่เรโซแนนซ์อนุกรมจากการคำนวณและการจำลองมีค่าเป็น 188.99 กับ 190.1 เฮิรตซ์ตามลำดับ และสำหรับความถี่เรโซแนนซ์ข้านจากการคำนวณและการจำลองมีค่าเป็น 180.83 กับ 168.4 เฮิรตซ์ตามลำดับ



รูปที่ 3.14 กราฟระหว่างความถี่กับอิมพีเดนซ์ของระบบกรณีติดตั้งวงจรกรองดิจุน

จากรูปที่ 3.14 พบร่วมกันว่าความถี่เรโซแนนซ์บนมีค่าเท่ากับ 168.4 เฮิรตซ์ (ตรงกับชาร์มอนิกอันดับที่ 3.3) และมีความถี่เรโซแนนซ์อนุกรมเท่ากับ 190.1 เฮิรตซ์ (ตรงกับชาร์มอนิกอันดับที่ 3.8) ซึ่งอันดับชาร์มอนิกของความถี่เรโซแนนซ์ทั้งสองดังกล่าวมีค่าต่ำกว่าความถี่ชาร์มอนิกอันดับต่อไปที่สุดของระบบ(อันดับที่ 5) ดังนั้นการติดตั้งวงจรกรองดิจุนจึงสามารถหลีกเลี่ยงการเกิดชาร์มอนิกเรโซแนนซ์ของระบบได้

## บทที่ 4

### ผลการจำลอง

#### 4.1 อันดับชาร์มอนิกเรโซแนนซ์ของหม้อแปลง

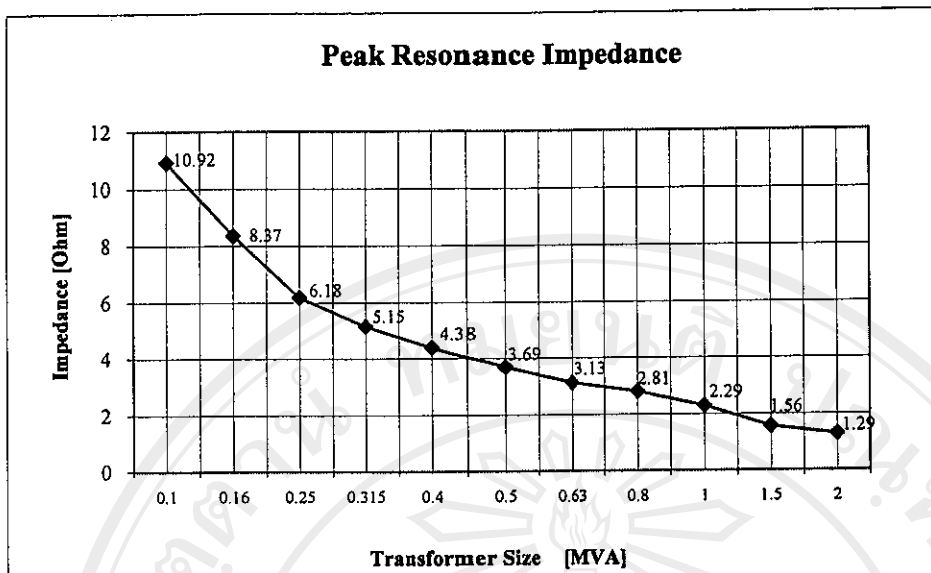
สำหรับหม้อแปลงแต่ละขนาดที่ติดตั้งค่าปาร์เซอร์ขนาด 30% ของพิกัดหม้อแปลงนั้น จะมีผลตอบสนองความถี่ของระบบตลอดจนอันดับชาร์มอนิกเรโซแนนซ์ที่แตกต่างกัน ในการศึกษาได้ทำการคำนวณและจำลองหาอันดับชาร์มอนิกเรโซแนนซ์ของหม้อแปลงแต่ละขนาด ดังตารางที่ 4.1

ตารางที่ 4.1 อันดับชาร์มอนิกเรโซแนนซ์สำหรับหม้อแปลงแต่ละขนาดซึ่งติดตั้งค่าปาร์เซอร์ขนาด 30% ของพิกัดหม้อแปลง

		อันดับชาร์มอนิกเรโซแนนซ์		
ขนาดของหม้อแปลง [MVA]	ขนาดของ ค่าปาร์เซอร์ [MVAR]	ค่าพิกัดกำลังไฟฟ้า ลักษณะที่บัส 400 โวลต์ [MVA]	จากการคำนวณ	จากการจำลอง
0.1	0.0300	2.48	9.1	9.6
0.16	0.0480	3.95	9.1	9.5
0.25	0.0750	6.13	9.0	9.4
0.315	0.0945	7.69	9.0	9.3
0.4	0.1200	9.70	9.0	9.3
0.5	0.1500	12.03	9.0	9.3
0.63	0.1890	15.02	8.9	9.2
0.8	0.2400	12.80	7.3	7.5
1	0.3000	15.85	7.3	7.5
1.5	0.4500	23.20	7.2	7.5
2	0.60	30.21	7.1	7.4

หมายเหตุ : คำนวณจากค่าพิกัดกำลังไฟฟ้าลักษณะของสถานีไฟฟ้าลำพูน 2 ณ ระดับแรงดันไฟฟ้า 22 kV = 322.31 MVA

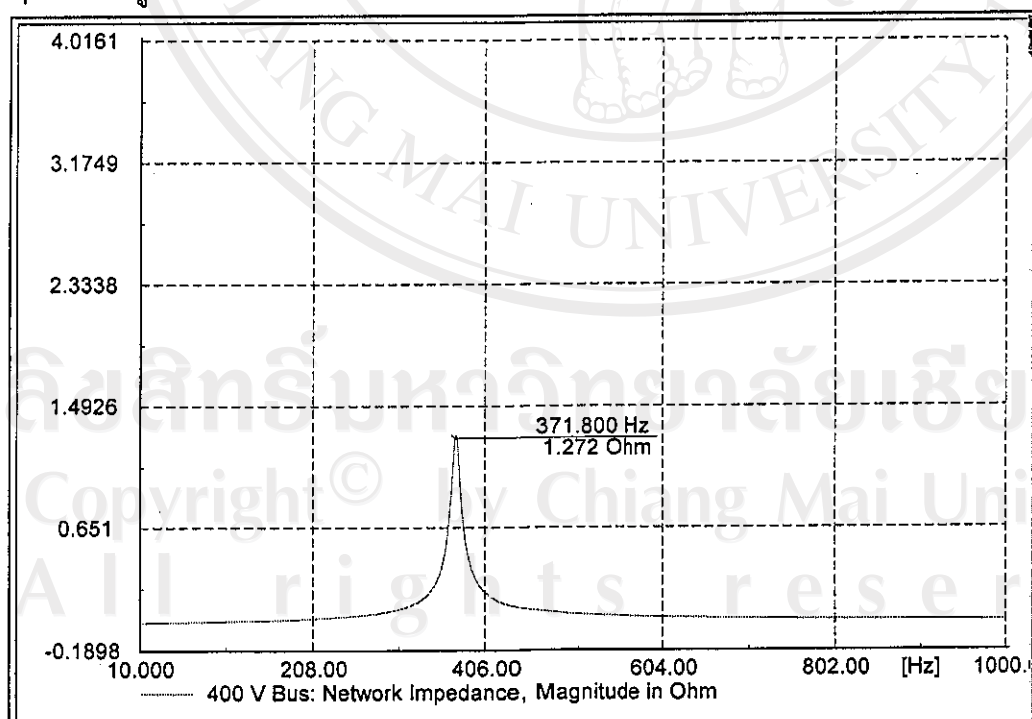
จากการจำลองได้ค่าอิมพีเดนซ์สูงสุดในขณะที่เกิดเรโซแนนซ์ (Peak resonance impedance) ของระบบ ดังรูปที่ 4.1 จะเห็นว่า เมื่อขนาดพิกัดของหม้อแปลงเพิ่มสูงขึ้น ค่าอิมพีเดนซ์สูงสุดขณะที่เรโซแนนซ์จะมีค่าลดลงด้วย กล่าวคือจากสมการที่ (3.4) เมื่อขนาดพิกัดหม้อแปลงเพิ่มขึ้นค่าอิมพีเดนซ์ของหม้อแปลงจะลดลงส่งผลให้อิมพีเดนซ์สูงสุดขณะที่เรโซแนนซ์ลดลงด้วย



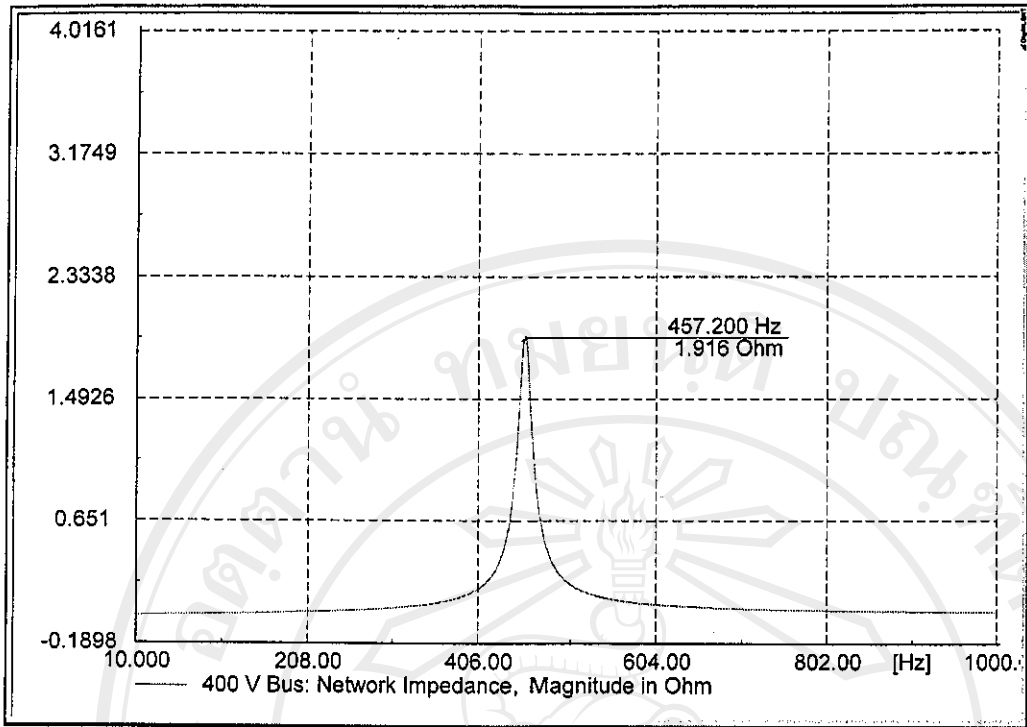
รูปที่ 4.1 อิมพีเดนซ์ขยะเกิดเรโซแนนซ์นานา ของระบบสัมผารับ  
หน้อแปลงแต่ละขนาดซึ่งติดตั้งค่าป่าเซเตอร์ขนาด 30% ของพิกัดหน้อแปลง

#### 4.2 ผลของค่าป่าเซเตอร์ที่มีต่อาร์มอนิกเรโซแนนซ์

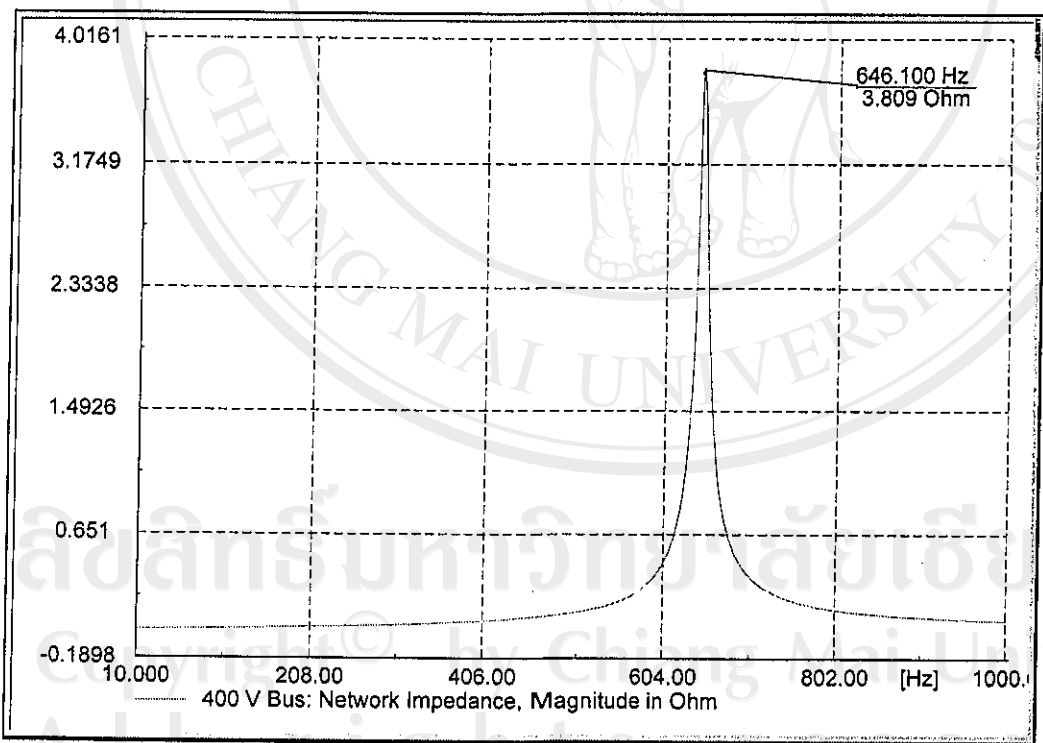
ในการศึกษาผลของค่าป่าเซเตอร์ที่มีต่ออาร์มอนิกเรโซแนนซ์นี้ ได้ทำการศึกษาแบ่งออกเป็น 3 กรณี ได้แก่ กรณีที่ติดตั้งค่าป่าเซเตอร์ขนาด 30%, 20% และ 10% ตามลำดับ โดยใช้หน้อแปลงขนาด 2000 kVA และ ทำการหาผลตอบสนองความถี่ในกรณีที่ติดตั้งค่าป่าเซเตอร์ขนาดต่างๆ ได้ผลดังรูปที่ 4.2 – 4.4



รูปที่ 4.2 กราฟระหว่างความถี่กับอิมพีเดนซ์ของระบบ ในกรณีติดตั้งค่าป่าเซเตอร์ขนาด 30%



รูปที่ 4.3 กราฟระหว่างความถี่กับอิมพีเดนซ์ของระบบ ในกรณีติดตั้งค่าปาซิเตอร์ขนาด 20%



รูปที่ 4.4 กราฟระหว่างความถี่กับอิมพีเดนซ์ของระบบ ในกรณีติดตั้งค่าปาซิเตอร์ขนาด 10%

โดยสามารถสรุปเป็นตารางอันดับ harmonic อนิจิเร โโซแนนซ์ของกรณีติดตั้งค่าปาซิเตอร์ขนาด 30%, 20% และ 10% ของพิกัดหม้อแปลง ได้ดังตารางที่ 4.2

ตารางที่ 4.2 อันดับชาร์มอนิกิเร โโซนเนนซ์จากการคำนวณและการจำลองของหน้าอแปลงขนาด 2000 kVA เมื่อคิดตั้งค่าป่าเซตอร์ที่ขนาดต่าง ๆ

ขนาดของ หน้าอแปลง [kVA]	ขนาดค่าป่าเซตอร์ คิดเป็น % ของ พิกัดหน้าอแปลง	kVAR	ค่าป่าเซตตันซ์ [ $\mu F$ ]	อันดับของเร โโซนเนนซ์		อิมพีเดนซ์ [Ohm]
				จากการ คำนวณ	จากการจำลอง	
2000	30	600	3977.273	7.33	7.45	1.292
	20	400	2651.515	8.98	9.13	1.931
	10	200	1325.758	12.69	12.93	3.815

จากตารางที่ 4.2 พบว่า ขนาดของค่าป่าเซตอร์ที่ติดตั้งส่งผลโดยตรงต่อทั้งอันดับการเกิดเร โโซนเนนซ์และขนาดของอิมพีเดนซ์ที่เกิดเร โโซนเนนซ์ กล่าวคือ ถ้าหากว่าขนาดของค่าป่าเซตอร์ที่ติดตั้งมีค่าลดลง อันดับชาร์มอนิกิเร โโซนเนนซ์จะมีค่าเพิ่มสูงขึ้น เช่นเดียวกันกับค่าอิมพีเดนซ์ที่เพิ่มขึ้นด้วย

#### 4.2.1 การประเมินขีดจำกัดของค่าป่าเซตอร์

จากทั้ง 3 กรณีดังกล่าวข้างต้น ได้ผลการศึกษาที่แต่ละอันดับชาร์มอนิกดังตารางที่ 4.3 – 4.5 ตารางที่ 4.3 ผลการศึกษาที่อันดับชาร์มอนิกต่าง ๆ ในกรณีติดตั้งค่าป่าเซตอร์ขนาด 30%

Order	$I_c$	$V_c$ (pu)	$V_c$ (V)	kVAR	$I_h$	$I_{hs}$	$M_c$	$M_s$
1	860.873	0.994	397.6	342.2831	1451.428	1161.19	0.593121	0.800033
5	237.41	0.137	54.8	13.01007	725.714	1318.33	0.32714	1.816597
7	1268.091	0.209	83.6	106.0124	174.171	1437.66	7.280724	8.254302
11	214.659	0.023	9.2	1.974863	116.114	98.58	1.848692	0.848993
13	151.359	0.013	5.2	0.787067	101.6	49.77	1.489754	0.489862
17	80.862	0.005	2	0.161724	65.314	15.55	1.23805	0.238081
19	68.62	0.004	1.6	0.109792	58.057	10.56	1.181942	0.18189
23	48.654	0.002	0.8	0.038923	43.543	5.11	1.117378	0.117355
25	47.792	0.002	0.8	0.038234	43.543	4.25	1.097582	0.097605
ค่า rms	1578.10	1.03	410.12	464.42	1642.82	2272.84		

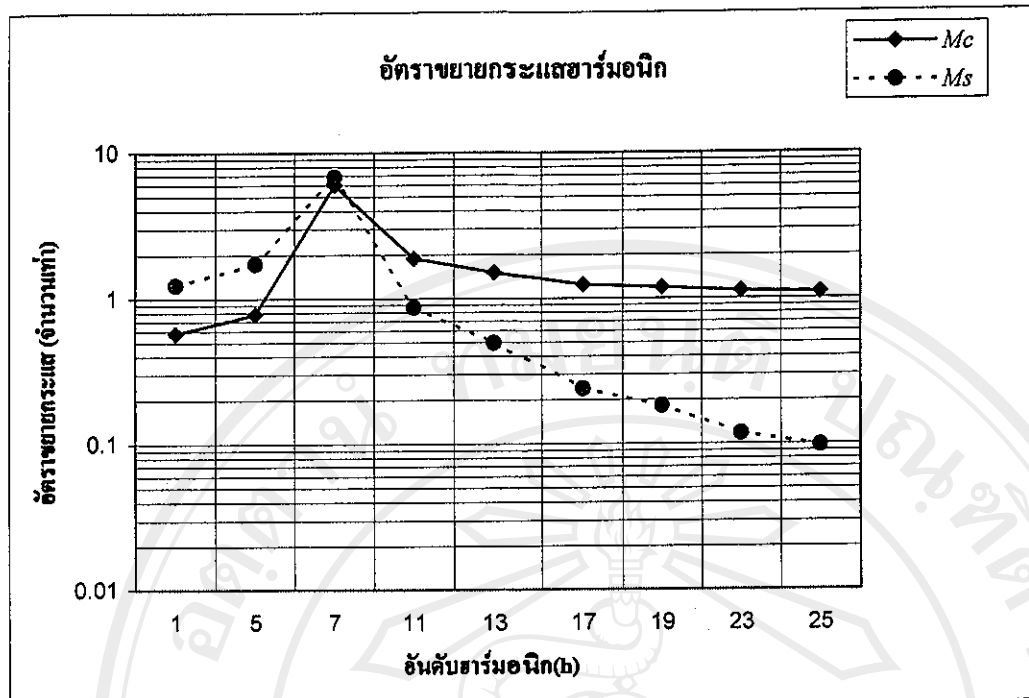
ตารางที่ 4.4 ผลการศึกษาที่อันดับ harmonic อนิกต่าง ๆ ในกรณีติดตั้งค่าป่าชិเตอร์ขนาด 20%

Order	$I_c$	$V_c (pu)$	$V_c (V)$	$kVAR$	$I_h$	$I_{hs}$	$M_c$	$M_s$
1	570.363	0.988	395.2	225.4075	1460.469	1207.76	0.390534	0.826967
5	125.202	0.043	17.2	2.153474	292.094	417.74	0.428636	1.430156
7	249.783	0.062	24.8	6.194618	175.256	424.78	1.425246	2.423769
11	375.015	0.059	23.6	8.850354	116.837	258.33	3.209728	2.211029
13	201.679	0.027	10.8	2.178133	102.233	99.47	1.972739	0.972974
17	92.357	0.009	3.6	0.332485	65.721	26.64	1.405289	0.40535
19	75.957	0.007	2.8	0.21268	58.419	17.54	1.300211	0.300245
23	52.009	0.004	1.6	0.083214	43.814	8.2	1.187041	0.187155
25	50.557	0.004	1.6	0.080891	43.814	6.74	1.153901	0.153832
ค่า rms	777.34	0.99	397.23	245.49	1511.51	1375.28		

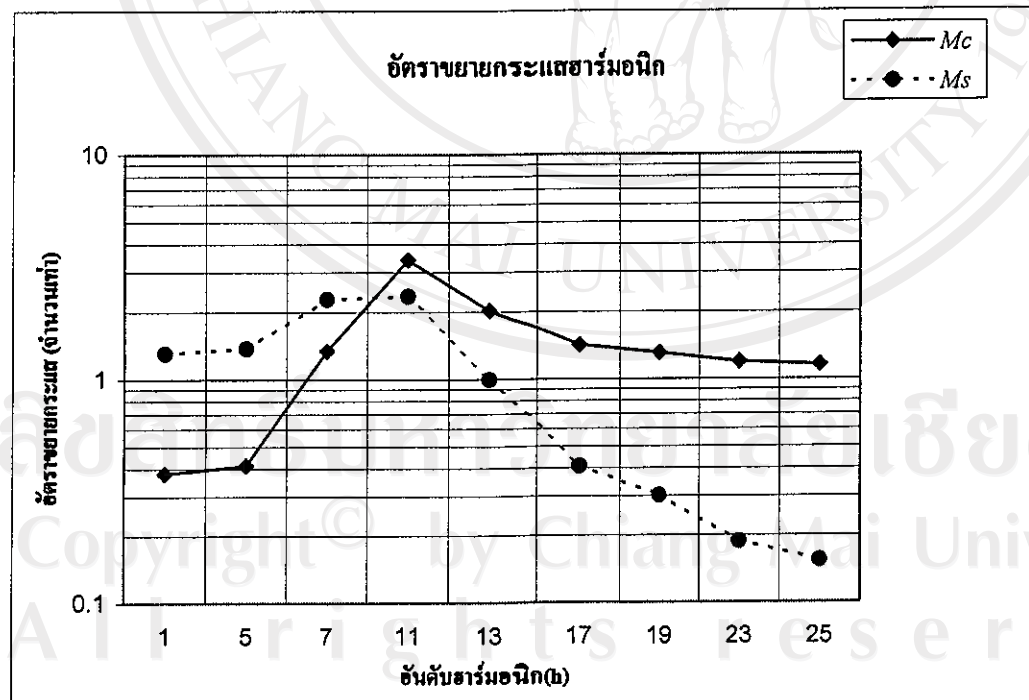
ตารางที่ 4.5 ผลการศึกษาที่อันดับ harmonic อนิกต่าง ๆ ในกรณีติดตั้งค่าป่าชិเตอร์ขนาด 10%

Order	$I_c$	$V_c (pu)$	$V_c (V)$	$kVAR$	$I_h$	$I_{hs}$	$M_c$	$M_s$
1	283.426	0.982	392.8	111.3297	1469.512	1319.09	0.192871	0.897638
5	51.885	0.036	14.4	0.747144	293.903	345.74	0.176538	1.176375
7	73.421	0.036	14.4	1.057262	176.342	249.72	0.416356	1.416112
11	310.734	0.098	39.2	12.18077	117.561	428.09	2.643172	3.641429
13	4905.764	1.308	523.2	2566.696	102.866	4839.22	47.69082	47.04392
17	156.245	0.032	12.8	1.999936	66.128	90.13	2.362766	1.362963
19	109.211	0.02	8	0.873688	58.781	50.44	1.85793	0.8581
23	64.372	0.01	4	0.257488	44.085	20.29	1.460179	0.460247
25	60.123	0.008	3.2	0.192394	44.085	16.04	1.363797	0.363843
ค่า rms	4929.06	1.64	655.92	2695.33	1520.87	5053.17		

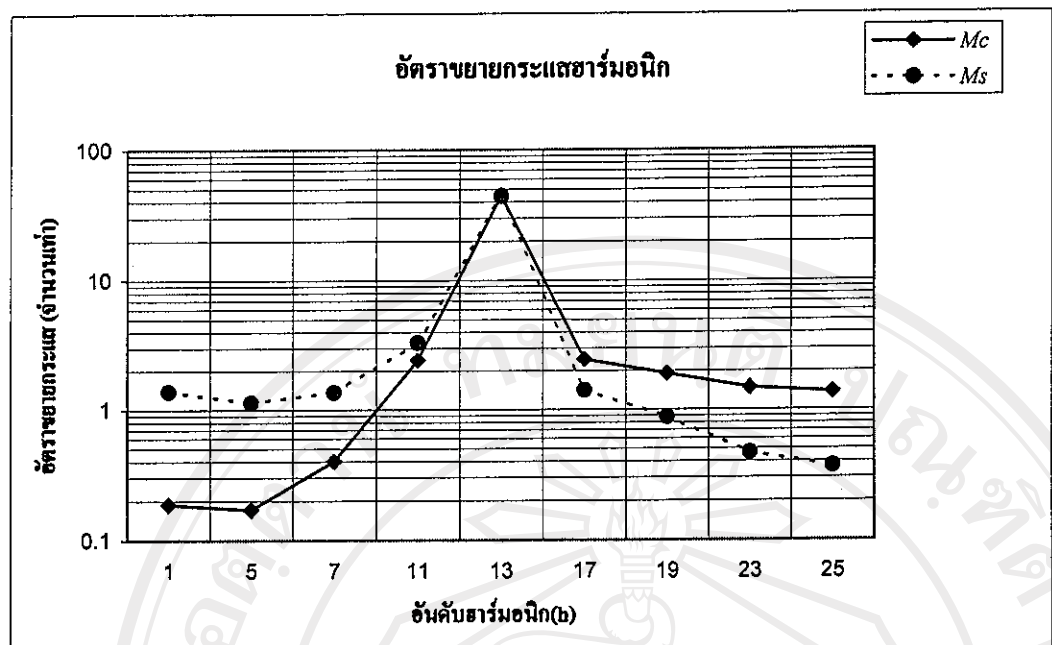
จากตารางที่ 4.3 – 4.5 สามารถเขียนกราฟอัตราขยายกระแสหาร์มอนิกที่โหลดเข้าสู่ค่าป่าชិเตอร์ ( $M_c$ ) และ อัตราการขยายกระแสหาร์มอนิกที่โหลดเข้าสู่ระบบไฟฟ้า ( $M_s$ ) ได้ดังรูปที่ 4.5 – 4.7



รูปที่ 4.5 อัตราการขยายกระแสเสื่อมอนิกที่ให้เลี้ยวสู่ระบบไฟฟ้า ( $M_s$ ) และ  
อัตราการขยายกระแสเสื่อมอนิกที่ค่าปานิชิเตอร์ ( $M_c$ )  
ในกรณีติดตั้งค่าปานิชิเตอร์ขนาด 30%



รูปที่ 4.6 อัตราการขยายกระแสเสื่อมอนิกที่ให้เลี้ยวสู่ระบบไฟฟ้า ( $M_s$ ) และ  
อัตราการขยายกระแสเสื่อมอนิกที่ค่าปานิชิเตอร์ ( $M_c$ )  
ในกรณีติดตั้งค่าปานิชิเตอร์ขนาด 20%



รูปที่ 4.7 อัตราการขยายกระแสเข้าสู่ค่าปาซิเตอร์ ( $M_c$ ) และ อัตราการขยายกระแสหาร์มอนิกที่ไฟฟ้ารับไฟฟ้า ( $M_s$ ) ในกรณีติดตั้งค่าปาซิเตอร์ขนาด 10%

เมื่อเปรียบเทียบผลที่ได้จากการจำลองกับค่าขีดจำกัดตามมาตรฐาน IEEE Std 1036-1992 ซึ่งได้กำหนดค่าขีดจำกัดของกระแส แรงดัน และกำลังไฟฟ้ารีแอกทีฟของค่าปาซิเตอร์ ในกรณี ติดตั้งค่าปาซิเตอร์ขนาด 30%, 20% และ 10% ได้ผลดังตารางที่ 4.6, 4.7 และ 4.8 ตามลำดับ ตารางที่ 4.6 ค่ากระแส แรงดัน และ กำลังไฟฟ้ารีแอกทีฟ กรณีติดตั้งค่าปาซิเตอร์ขนาด 30%

ค่า	$I_{rms}$ [A]	$V_{rms}$ [V]	$V_{peak}$ [V]	$kVAR$
ค่าพิกัด	866.03	400	565.6	600
ค่าขีดจำกัด	1558.85	440	678.8	810
ค่าที่ได้จากการจำลอง	1578.10	410.12	580.0	464.42

ตารางที่ 4.7 ค่ากระแส แรงดัน และ กำลังไฟฟ้ารีแอกทีฟ กรณีติดตั้งค่าปาซิเตอร์ขนาด 20%

ค่า	$I_{rms}$ [A]	$V_{rms}$ [V]	$V_{peak}$ [V]	$kVAR$
ค่าพิกัด	577.35	400	565.6	400
ค่าขีดจำกัด	1039.23	440	678.8	540
ค่าที่ได้จากการจำลอง	777.34	397.23	561.77	245.49

ตารางที่ 4.8 ค่ากระแส แรงดัน และ กำลังไฟฟ้ารีแอกทีฟ กรณีติดตั้งคาป่าชีเตอร์ขนาด 10%

ค่า	$I_{rms}$ [A]	$V_{rms}$ [V]	$V_{peak}$ [V]	$kVAR$
ค่าพิกัด	288.68	400	565.6	200
ค่าขีดจำกัด	519.62	440	678.8	270
ค่าที่ได้จากการจำลอง	4929.06	655.2	926.59	2695.33

จากการจำลองทั้ง 3 กรณีพบว่า ในกรณีติดตั้งคาป่าชีเตอร์ขนาด 30% จะเกิดเรโซแนนซ์ที่ ชาร์มอนิกอันดับที่ 7.4 โดยอัตราการขยายกระแสจะมีค่าสูงถึง 7 - 8 เท่า ที่ชาร์มอนิกอันดับที่ 7 (ดังรูปที่ 4.5) และเมื่อทำการเปรียบเทียบค่าต่าง ๆ กับมาตรฐานการใช้งานของคาป่าชีเตอร์พบว่า กระแสอาร์เอ็มเอสมีค่าสูงเกินกว่าค่าขีดจำกัดที่กำหนดไว้ ในกรณีติดตั้งคาป่าชีเตอร์ขนาด 20% จะเกิดเรโซแนนซ์ที่ชาร์มอนิกอันดับที่ 9.1 และเมื่ออัตราการขยายกระแสที่ 2 และ 3 เท่าโดยประมาณ ที่ชาร์มอนิกอันดับที่ 7 และ 11 ตามลำดับ ในกรณีติดตั้งคาป่าชีเตอร์ขนาด 10% พบว่าจะเกิดเรโซแนนซ์ที่ชาร์มอนิกอันดับที่ 12.9 ในกรณีนี้ พบว่าอัตราขยายกระแสที่เกิดขึ้นจะมีค่าสูงมาก ๆ เมื่อจากเกิดภาวะเรโซแนนซ์ของชาร์มอนิกอันดับที่ 13 ซึ่งใกล้เคียงกับอันดับชาร์มอนิกเรโซแนนซ์ของระบบดังกล่าวที่ชาร์มอนิกอันดับที่ 12.9 ส่งผลให้ค่ากระแส แรงดัน และพิกัด กำลังไฟฟ้ารีแอกทีฟมีค่าเกินขีดจำกัดการทำงานของคาป่าชีเตอร์ (ดังตารางที่ 4.8)

#### 4.2.2 การประเมินค่าตัวประกอบกำลัง ค่าใช้จ่ายในการติดตั้งคาป่าชีเตอร์ และ ระยะเวลาคืนทุน

จากรถยนต์ศึกษา หน้อแปลงขนาด 2000 kVA จ่ายไฟให้กับ负荷ไม่เชิงเส้นขนาด 1000 kVA ที่ค่าตัวประกอบกำลัง 0.8 ได้ผลดังตารางที่ 4.9

ตารางที่ 4.9 ตัวประกอบกำลังและค่าใช้จ่ายในการติดตั้งคาป่าชีเตอร์

	กรณี			
	30% Capacitor	20% Capacitor	10% Capacitor	PF = 0.85
ค่ากำลังไฟฟ้ารีแอกทีฟที่ใช้ชดเชย [kVAR]	600	400	200	312.6
ตัวประกอบกำลัง	0.89	0.86	0.83	0.85
ค่าใช้จ่ายในการติดตั้งคาป่าชีเตอร์ [บาท]	48,480	32,320	16,160	26,058

จากข้อกำหนดของการไฟฟ้าฯ ได้กำหนดอัตราการติดตั้งค่าธรรมเนียมสำหรับผู้ใช้ไฟฟ้า ประเภทธุรกิจอุตสาหกรรมที่มีค่าตัวประกอบกำลังต่ำดังนี้

“สำหรับผู้ใช้ไฟฟ้าที่มีค่าตัวประกอบกำลัง (ถ้าหลัง) ถ้าในรอบเดือนได้ผู้ใช้ไฟฟ้าใช้ กำลังไฟฟารีแยกทีฟเฉลี่ยใน 15 นาทีที่สูงสุด เมื่อคิดเป็นกิโลวาร์ เกินกว่าร้อยละ 61.97 ของความต้องการพลังไฟฟ้าแยกทีฟเฉลี่ยใน 15 นาทีที่สูงสุด เมื่อคิดเป็นกิโลวัตต์แล้ว เนพะส่วนที่เกิน จะต้องเสียค่าตัวประกอบกำลังในอัตรา กิโลวาร์ละ 14.02 บาท สำหรับการเรียกเก็บเงินค่าไฟฟ้าในรอบเดือนนั้น เศษของ กิโลวาร์ ถ้าไม่ถึง 0.5 กิโลวาร์ตัดทิ้ง ตั้งแต่ 0.5 กิโลวาร์ขึ้นไปคิดเป็น 1 กิโลวาร์”

จากข้อกำหนดดังกล่าว หมายความว่า ถ้าหากพิจารณาที่ค่ากำลังไฟฟ้าจริง 100 กิโลวัตต์ (คิดเป็น 100%) ดังนั้นระบบไฟฟ้าของผู้ใช้ไฟสามารถจ่ายกำลังไฟฟารีแยกทีฟ ได้ไม่เกิน 61.97 กิโลวาร์ เท่านั้น ถ้าหากผู้ใช้ไฟรายได้ทำให้ระบบไฟฟ้าจ่ายกำลังไฟฟารีแยกทีฟเกินกว่าค่านี้ จะต้องเสียค่าปรับในอัตรา 14.02 บาท/กิโลวาร์ สามารถเบียนใหม่ในรูปของตัวประกอบกำลัง ดังนี้

$$\text{ค่ากำลังไฟฟ้าจริง (P)} = 100 \text{ กิโลวัตต์}$$

$$\text{ค่ากำลังไฟฟารีแยกทีฟ (Q)} = 61.97 \text{ กิโลวาร์}$$

$$\tan \theta = \frac{Q}{P} = \frac{61.97}{100}$$

$$\theta = \tan^{-1} 0.6197 = 31.78^\circ$$

$$pf = \cos \theta = \cos(31.78^\circ) = 0.85$$

ดังนั้น สำหรับระบบไฟฟ้าของผู้ใช้ไฟรายได้ที่มีค่าตัวประกอบกำลังไฟฟ้าสูงกว่า 0.85 ขึ้นไป จะไม่ต้องเสียค่าปรับรายเดือนในส่วนดังกล่าว

#### การวิเคราะห์ระยะเวลาคืนทุน(Payback period)

ระยะเวลาคืนทุน คือ ระยะเวลาที่โครงการใช้ในการจ่ายคืนเงินลงทุนเริ่มต้นของโครงการซึ่งคำนวณได้จาก

ระยะเวลาคืนทุน(ปี) = เงินลงทุนเริ่มต้น / ค่าใช้จ่ายที่ประหยัดได้สุทธิเฉลี่ยต่อปี  
โดยที่ เงินเริ่มต้นลงทุนประกอบด้วย ค่าอุปกรณ์ ค่าติดตั้งและค่าบริหาร โครงการ เป็นต้น

ค่าใช้จ่ายที่ประหยัดได้สุทธิเฉลี่ยต่อปี คือ ค่าใช้จ่ายที่ประหยัดได้เฉลี่ยต่อปี หลังจากหักค่าใช้จ่ายจากการดำเนินการและการบำรุงรักษาแล้ว(ถ้ามี)  
กรณีที่ไม่ติดตั้งคาปาชิเตอร์

สำหรับกรณีระบบที่พิจารณาไม่ได้ติดตั้งคาปาชิเตอร์ จะมีค่าตัวประกอบกำลังเป็น 0.80 พบว่า ถ้าต้องการปรับปรุงค่าตัวประกอบกำลังให้มีค่าเท่ากับ 0.85 จะต้องซุดเชยกำลังไฟฟ้ารีแยกทีฟเท่ากับ 313 กิโลวาร์ โดยใช้เงินลงทุนเริ่มต้นในการติดตั้งคาปาชิเตอร์เป็นเงิน 26,058 บาท

ในกรณีที่ไม่ได้ติดตั้งคาปาชิเตอร์จะเสียค่าปรับเป็นจำนวนเงิน  $313 \times 14.02 = 4,388.26$  บาท/เดือน และ คิดเป็นค่าใช้จ่ายที่ประหยัดได้สุทธิเฉลี่ยต่อปี =  $4,388.26 \times 12 = 52,659.12$  บาท/ปี

เพราะจะนั้น ระยะเวลาคืนทุนสำหรับการติดตั้งคาป่าซิเตอร์เพื่อปรับปรุงค่าตัวประกอบกำลังจาก 0.8 เป็น 0.85 คือ

$$\text{ระยะเวลาคืนทุน} = 26,058 / 52,659.12 = 0.49 \text{ ปี}$$

สำหรับกรณีติดตั้งคาป่าซิเตอร์ขนาด 10% ของพิกัดหม้อแปลง จะชดเชยกำลังไฟฟ้ารีแอกทีฟให้กับระบบเท่ากับ 200 กิโลวาร์ ทำให้ตัวประกอบกำลังมีค่าเป็น 0.83 โดยเสียค่าใช้จ่ายในการลงทุนติดตั้งคาป่าซิเตอร์เป็นเงิน 16,160 บาท และ คิดเป็นค่าใช้จ่ายที่ประยุคได้เทียบกับกรณีที่ไม่ติดตั้งคาป่าซิเตอร์เป็นจำนวนเงิน  $200 \times 14.02 = 2,804$  บาท/เดือนและคิดเป็นค่าใช้จ่ายที่ประยุคได้สูงขึ้นถึงต่อปี  $= 2,804 \times 12 = 33,648$  บาท/ปี มีระยะเวลาคืนทุน เป็น

$$\text{ระยะเวลาคืนทุน} = 16,160 / 33,648 = 0.48 \text{ ปี}$$

อย่างไรก็ตามในกรณีที่ติดตั้งคาป่าซิเตอร์ขนาด 10% นี้ ทำให้ค่าตัวประกอบกำลังมีค่าเป็น 0.83 กล่าวคือตัวประกอบกำลังยังไม่ถึง 0.85 ยังคงต้องเสียค่าปรับเป็นเงิน  $113 \times 14.02 = 1,584.26$  บาท/เดือน ดังนั้น สามารถคำนวณระยะเวลาการคืนทุนของการติดตั้งคาป่าซิเตอร์เทียบกับกรณีที่ไม่ได้ติดตั้งคาป่าซิเตอร์ได้ดังตารางที่ 4.10

ตารางที่ 4.10 ระยะเวลาการคืนทุนของการติดตั้งคาป่าซิเตอร์ในแต่ละกรณีเทียบกับกรณีที่ไม่ได้ติดตั้งคาป่าซิเตอร์

	กรณี				
	30% Capacitor	20% Capacitor	10% Capacitor	PF = 0.85	ติดตั้งวงจรกรองคิวบ์
ค่าใช้จ่ายในการติดตั้งคาป่าซิเตอร์ [บาท]	48,480	32,320	16,160	26,058	258,000
ระยะเวลาคืนทุน (ปี)	0.92	0.61	0.48	0.49	4.9

#### 4.2.3 การประเมินกำลังสูญเสียของหม้อแปลงที่ลดลงจากการติดตั้งคาป่าซิเตอร์

จากการศึกษาสามารถคำนวณหาค่ากำลังสูญเสียที่ลดลงได้เทียบกับกรณีที่ไม่ได้ติดตั้งคาป่าซิเตอร์ โดยใช้สมการที่(2.10) ได้ผลดังตารางที่ 4.11

ตารางที่ 4.11 ค่ากำลังสูญเสียที่ลดลงเนื่องจากติดตั้งคาป่าซิเตอร์ในแต่ละกรณี

	กรณี				
	30% Capacitor	20% Capacitor	10% Capacitor	PF = 0.85	ติดตั้งวงจรกรองคิวบ์
ค่ากำลังสูญเสียของหม้อแปลงที่ลดลง[%]	20	14.22	7.56	11.42	20